



Gorgan University of Agricultural
Sciences and Natural Resources



The effect of natural forest cover, afforestation and pasture on soil organic and mineral characteristics

Yahya Kooch^{*1}, Mahin Fooladi Doghozlo², Katayoun Haghverdi³

1. Corresponding Author, Associate Prof., Dept. of Range Management, Faculty of Natural Resources, Tarbiat Modares University, Noor, Iran. E-mail: yahya.kooch@modares.ac.ir
2. Ph.D. Student, Dept. of Range Management, Faculty of Natural Resources, Tarbiat Modares University, Noor, Iran. E-mail: m-fooladi@modares.ac.ir
3. Assistant Prof., Dept. of Wood and Paper Science and Technology, Karaj Branch, Islamic Azad University, Karaj, Iran. E-mail: katayoun.haghverdi@kiau.ac.ir

| Article Info | ABSTRACT |
|--|---|
| Article type: Full Length Research Paper | Background and Objectives: The increasing demands of a growing population have led to significant pressures on forest habitats, resulting in degradation and land use change. Land cover changes can profoundly impact soil dynamics, including physical, chemical, and biological characteristics. However, limited studies have focused on soil quality across different land uses. This research aims to investigate the effects of various land uses on the organic and mineral layers of soil in the Abbassabad region of Mazandaran province. |
| Article history: Received: 02.18.2024 Revised: 05.31.2024 Accepted: 06.02.2024 | |
| Keywords: Ecosystem Degradation, Land use, Physical and Chemical Characteristics, Soil Fertility | Materials and Methods: In this study, various soil characteristics were examined in different habitats, including natural Mamrez-Anjili natural forest, pure alder afforestation, pure pellet afforestation, mixed afforestation, and pasture cover in the Abbassabad region of Mazandaran province. To investigate the effects of land covers on the different characteristics of the organic and mineral layers of the soil, parts of the above-mentioned lands were selected that were continuous with each other and had minimal height differences. A minimal change in percentage and direction of slope was observed in them. Three plots of one hectare (100×100 meters) were selected in each of the habitats, with distances of at least 600 meters. In each of the plots, four samples were taken from the organic layer (leaves or debris on the surface of the earth) and mineral soil (30×30 cm surface to a depth of 10 cm). A total of 12 organic layer samples and 12 soil samples were taken to the laboratory for analysis. Part of the soil samples was passed through a 2 mm sieve after drying to perform physical and chemical tests, and the second part of the samples was used for biological tests until the time of the test at a temperature of 4 °C. Standard soil methods were used to conduct physical, chemical, and biological soil tests. |
| | Results: The results demonstrate that elevated levels of nitrogen, phosphorus, potassium, and calcium positively influence soil fertility characteristics, as well as the physical and chemical properties of microbial and enzyme activity, soil worm populations, and soil organism populations in natural forests and mixed forestry. Conversely, pasture habitats, pure pellet forestry, and pure alder forestry, characterized by the production of organic matter with higher carbon content and carbon-to-nitrogen ratio, result in reduced organic matter decomposition (indicated by thicker litter). |

layers) and subsequently, diminished characteristics in the soil mineral layer. Additionally, natural forest cover shows higher levels of ammonium and nitrate compared to other land uses. Furthermore, the presence of plant residues, along with high nitrogen content and a low carbon-to-nitrogen ratio, enhances the soil's efficacy in nitrogen transformation.

Conclusion: Based on the findings of this research, natural forest cover plays a significant role in preserving soil quality. Therefore, protecting natural forest cover should be prioritized. Moreover, in areas undergoing degradation, tree cover with suitable combinations can be employed to restore natural ecosystems, enhance fertility, and facilitate the nutrient cycling of the soil.

Cite this article: Kooch, Yahya, Fooladi Doghozlo, Mahin, Haghverdi, Katayoun. 2025. The effect of natural forest cover, afforestation and pasture on soil organic and mineral characteristics. *Journal of Soil Management and Sustainable Production*, 14 (4), 29-52.



© The Author(s).

DOI: -----

Publisher: Gorgan University of Agricultural Sciences and Natural Resources

اثر پوشش‌های جنگل طبیعی، جنگل کاری و مرتعی بر مشخصه‌های آلی و معدنی خاک

یحیی کوچ^۱، مهین فولادی دوقزلو^۲، کتایون حق‌وردی^۳

- نویسنده مسئول، دانشیار گروه مرتضعداری، دانشگاه تربیت مدرس، دانشکده منابع طبیعی نور، نور، ایران. رایانame: yahya.kooch@modares.ac.ir
- دانشجوی دکتری گروه علوم مرتع، دانشگاه تربیت مدرس، دانشکده منابع طبیعی نور، نور، ایران. رایانame: m-fooladi@modares.ac.ir
- استادیار گروه علوم و صنایع چوب و کاغذ، واحد کرج، دانشگاه آزاد اسلامی، کرج، ایران. رایانame: katayoun.haghverdi@kiau.ac.ir

| اطلاعات مقاله | چکیده |
|---------------|--|
| نوع مقاله: | مقاله کامل علمی - پژوهشی |
| ساقه و هدف: | افزایش جمعیت و نیازهای رو به رشد آن، منجر به تنفس‌های زیادی در رویشگاه‌های جنگلی شده است و به عنوان یک عامل اصلی در تخریب رویشگاه‌های جنگلی و تغییر کاربری اراضی مطرح می‌شود. پوشش‌های مختلف اراضی اثرات قابل توجهی بر پویایی خواص خاک دارند. تغییر کاربری اراضی به واسطه تخریب پوشش‌های گیاهی اثرات منفی بر روی مشخصه‌های فیزیکی، شیمیایی و زیستی خاک دارد. گزارش‌های اندکی از بررسی کیفیت خاک در کاربری‌های مختلف اراضی مشاهده می‌شود. با این حال، پژوهش حاضر با هدف مطالعه اثر کاربری‌های مختلف اراضی بر ویژگی‌های لایه آلی و معدنی خاک در منطقه عباس‌آباد استان مازندران انجام شد. |
| تاریخ دریافت: | ۱۴۰۲/۱۱/۲۹ |
| تاریخ ویرایش: | ۱۴۰۳/۰۳/۱۱ |
| تاریخ پذیرش: | ۱۴۰۳/۰۳/۱۳ |

مواد و روش‌ها: در این پژوهش، مشخصه‌های مختلف خاک در هر یک از رویشگاه‌های جنگل طبیعی مرز - انگلی، جنگل کاری خالص توسکا، جنگل کاری خالص پلت، جنگل کاری آمیخته و پوشش مرتعی در منطقه عباس‌آباد استان مازندران مورد بررسی قرار گرفت. بهمنظور بررسی اثرات پوشش‌های اراضی بر مشخصه‌های مختلف لایه‌های آلی و معدنی خاک، پس از بررسی‌های اولیه و بازدیدهای میدانی، بخش‌هایی از اراضی فوق‌الذکر انتخاب شد که به صورت پیوسته با هم بوده و حداقل اختلاف ارتفاع از سطح دریا، حداقل تغییر درصد و جهت شیب در آن‌ها مشاهده شد. سپس در هر یک از رویشگاه‌ها سه قطعه یک هکتاری (100×100) با فواصل حداقل ۶۰۰ متر انتخاب شد. در هر یک از قطعات، تعداد ۴ نمونه از لایه آلی (لاشبک) یا لاشه‌ریزه سطح زمین و معدنی خاک (سطح 30×30 سانتی‌متر تا عمق ۱۰ سانتی‌متری) برداشت و در مجموع از هر یک از رویشگاه‌های مورد مطالعه تعداد ۱۲ نمونه از لایه آلی و ۱۲ نمونه خاک جهت تجزیه و تحلیل به آزمایشگاه منتقل شد. یک بخش از نمونه‌های خاک جهت

واژه‌های کلیدی:
تخریب اکوسیستم،
حاصل خیزی خاک،
کاربری اراضی،
مشخصه‌های فیزیکی و
شیمیایی

انجام آزمایش‌های فیزیکی و شیمیایی، پس از خشک شدن از الک ۲ میلی‌متری عبور داده شده و بخش دوم نمونه‌ها برای انجام آزمایش‌های زیستی تا زمان آزمایش در دمای ۴ درجه سانتی‌گراد نگهداری شد. به طور کلی برای انجام آزمایش‌های فیزیکی، شیمیایی و زیستی خاک از روش‌های استاندارد خاک استفاده گردید.

یافته‌ها: نتایج بیانگر آن است که مقادیر بالای نیتروژن، فسفر، پتاسیم و کلسیم باعث بهبود ویژگی‌های حاصل‌خیزی خاک، مشخصه‌های فیزیکی و شیمیایی فعالیت میکروبی و آنزیمی، جمعیت کرم‌های خاکی، جمعیت موجودات خاکری تحت جنگل طبیعی و جنگل‌کاری آمیخته شده است. این در حالی است که رویشگاه‌های مرتعی، جنگل‌کاری خالص پلت و جنگل‌کاری خالص توسکا با تولید مواد آلی محتوای کربن و نسبت کربن به نیتروژن بالاتر، منجر به کاهش تجزیه مواد آلی (ضخامت بیشتر لایه لاشبرگی) و در نتیجه کاهش مشخصه‌های مذکور در لایه معدنی خاک شدند. هم‌چنین پوشش جنگل طبیعی دارای مقادیر بالاتری از آمونیوم و نیترات نسبت به سایر کاربری‌ها بود. علاوه‌بر این، خاک جنگل طبیعی به دلیل وجود بقایای گیاهی و هم‌چنین بیشتر بودن میزان نیتروژن و کمتر بودن نسبت کربن به نیتروژن خاک در تغییر شکل نیتروژن اثرگذارتر می‌باشد.

نتیجه‌گیری: با توجه به یافته‌های پژوهش حاضر می‌توان نتیجه گرفت که پوشش جنگل طبیعی در حفظ خاک و کیفیت آن نقش برجسته‌ای دارد. در همین راستا، حفاظت از پوشش جنگل طبیعی باید مورد توجه قرار گیرد. ضمن این‌که در مناطق تخریب یافته می‌توان از پوشش‌های درختی با ترکیب آمیختگی برای احیای اکوسیستم‌های طبیعی، بهبود حاصل‌خیزی و چرخه عناصر غذایی خاک استفاده کرد.

استناد: کوچ، یحیی، فولادی دوقلو، مهین، حق‌وردي، کتابون (۱۴۰۳). اثر پوشش‌های جنگل طبیعی، جنگل‌کاری و مرتعی بر مشخصه‌های آلی و معدنی خاک. نشریه مدیریت خاک و تولید پایدار، ۱۴ (۴)، ۵۲-۲۹.

DOI: -----



© نویسنده‌گان.

ناشر: دانشگاه علوم کشاورزی و منابع طبیعی گرگان

مقدمه

قابل توجهی در سطوح مواد مغذی خاک و بسترهای آلی می‌شود (۵). هم‌چنین این تغییر کاربری‌ها، ویژگی‌های فیزیکی خاک را تحت تأثیر قرار داده و موجب افزایش جرم مخصوص ظاهری و افزایش مقاومت خاک در برابر نفوذ آب می‌شود. تغییر کاربری موجب کاهش قابل توجه تخلخل و پایداری خاک شده و سرعت فرسایش خاک سطحی را بالا می‌برد (۶). هم‌چنین تخریب جنگل‌ها و تغییر کاربری اثرات منفی بر روی پارامترهای شیمیایی خاک می‌گذارد، در همین راستا هدایت الکتریکی و واکنش خاک در کاربری تغییر یافته، بسیار بیشتر از جنگل طبیعی می‌باشد (۷). خاک جنگل طبیعی معمولاً دارای تنوع زیستی فراوانی از جمله میکرووارگانیسم‌ها، قارچ‌ها و کرم‌های خاکی است، این تنوع به عنوان یک سیستم تعادل زیستی در پایداری خاک نقش دارد. جامعه زنده خاک در چرخه عناصر، افزایش حاصل‌خیزی و کیفیت خاک نقش اساسی دارد (۸). تغییر کاربری، تنوع زیستی، نرخ جامعه باکتریایی خاک و فعالیت‌های میکروبی را کاهش می‌دهد (۹). آنزیم‌ها، واکنش‌ها و فرآیندهای مختلف متابولیکی در چرخه زیست‌شیمیایی مواد غذایی خاک را کنترل می‌کنند (۱۰). با توجه به این که در مقایسه با سایر ویژگی‌های خاک نسبت به تغییرات پوشش گیاهی و مدیریت اراضی سریع‌تر تغییر می‌کنند، به عنوان شاخصی از تغییرات زیستی خاک مورد بررسی قرار می‌گیرند. تغییر کاربری موجب کاهش فعالیت‌های آنزیمی می‌شود (۱۱). بر اساس منابع، تأثیر تخریب جنگل و تغییر کاربری اراضی بر روی ویژگی‌های خاک بررسی شده اما در ارتباط با نقش این تغییر کاربری‌ها بر مشخصه‌های زیستی اطلاعات چندانی در دسترس نمی‌باشد. در حالی که این مشخصه‌ها نقش بهسازی در چرخه عناصر غذایی و پایداری اکوسیستم‌ها دارند. غالیت جنگل کاری در مناطق شمالی کشور از

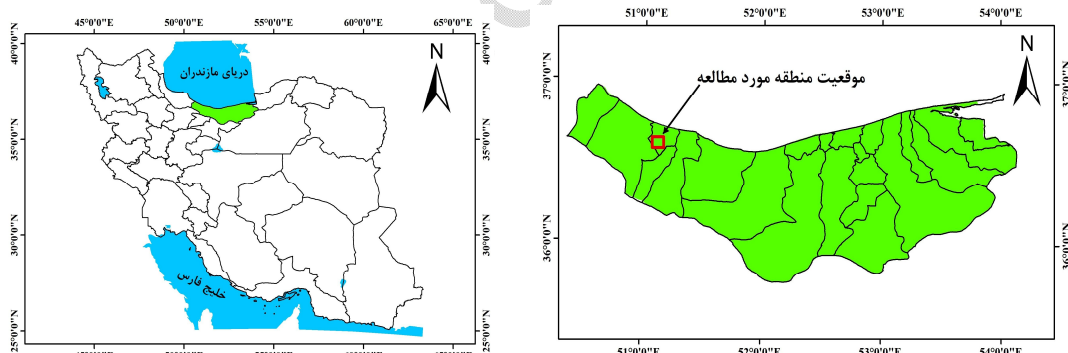
پوشش‌های جنگلی از جمله مهم‌ترین پوشش‌های گیاهی در جهان هستند که اثرات متفاوتی بر مشخصه‌های آلی و معدنی خاک دارند. پوشش زمین به‌ویژه جنگل‌ها، نقش بسیار مهمی در جریان انتقال کربن از طریق فتوسنتز و تنفس دارند و به عنوان یک مخزن کربن در اکوسیستم‌های زمینی محسوب می‌شوند این منابع تقریباً ۳۰ درصد از سطح زمین را پوشش می‌دهند و بیش از ۷۰ درصد کربن آلی خاک در جنگل‌ها ذخیره می‌شود (۱). افزایش جمعیت و نیازهای رو به رشد آن، منجر به تنش‌های زیادی بر روی رویشگاه‌های جنگلی شده است و به عنوان یک عامل اصلی در تخریب رویشگاه‌های جنگلی مطرح می‌شود. تخریب جنگل‌ها و تغییر کاربری اراضی به‌منظور تأمین نیازهای مختلف بدون هزینه نبوده و پیامدهایی چون از بین رفتان تنوع زیستی، تغییرات آب و هوایی، اختلال در چرخه آب، پناهندگان زیست محیطی، شیوع بیماری‌های جدید و تخریب منابع تجدیدپذیر را در پی داشته است (۲). با آشکارتر شدن مخاطرات ناشی از جنگل‌زدایی در جهان، امروزه تلاش‌های زیادی جهت حفظ و گسترش این رویشگاه‌ها صورت گرفته است. یکی از مؤثرترین راهکارها جنگل کاری در مناطق تخریب یافته و تغییر کاربری مجدد به اراضی جنگلی می‌باشد. جنگل کاری نه تنها از مخاطرات زیست‌محیطی بسیاری مانند تغییر اقلیم جلوگیری می‌کند، بلکه کیفیت مؤلفه‌های اساسی خاک مانند کربن آلی، پتاسیم و رطوبت خاک را نیز مجدداً به‌طور قابل توجهی بهبود می‌بخشد (۳). به‌منظور بررسی دقیق‌تر اثرات تغییر کاربری اراضی بر کیفیت خاک منطقه باید خاک از دیدگاه‌های فیزیکی، شیمیایی، بیوشیمی و زیستی مورد بررسی قرار گیرد (۴). تغییر کاربری اراضی از جنگل به کاربری‌های دیگر، باعث افت کیفیت لایه لاشبرگ و کاهش

بارندگی آن ۱۵۰۰-۱۱۰۰ میلی‌متر، درصد شیب ۸-۶ درصد)، جهت جغرافیایی غالب شمالی، میانگین دمای ۱۶ درجه سانتی‌گراد و ارتفاع از سطح دریا حداقل ۳۷۰ متر است. براساس مطالعات خاکشناسی خاک‌های محدوده عمدتاً از تیپ راندزین تکامل نیافته قهوه‌ای جنگلی و قهوه‌ای شسته‌شده با افق آرجیلیک می‌باشند. پوشش‌های اراضی مورد مطالعه در این پژوهش عبارتند از: جنگل طبیعی مرز-انجیلی، جنگل کاری ۳۰ ساله آمیخته توسکا بیلاقی و پلت، جنگل کاری ۳۰ ساله خالص توسکا بیلاقی، جنگل کاری ۳۰ ساله خالص پلت و پوشش مرتعی که شامل گونه‌های *Brachypodium pinnatum* (>25%), *Carex sylvatica* (>25%), *Oplismenus undulatifolius* (>15%) و *Parietaria officinalis* (>10%) می‌باشد.

گونه‌های توسکا و پلت می‌باشد. بنابراین در پژوهش حاضر تلاش شد که اثر کاربری‌های مختلف اراضی از جمله جنگل طبیعی، جنگل کاری خالص پلت، جنگل کاری خالص توسکا، جنگل کاری آمیخته و پوشش مرتعی مورد بررسی قرار گیرد. با توجه به این که تغییرات مشخصه‌های زیستی خاک متأثر از کیفیت لاشبرگ و همچنین شرایط فیزیکی و شیمی خاک می‌باشد بنابراین در کنار پارامترهای زیستی به مطالعه مشخصه‌های لایه آلی و فیزیکی و شیمیایی خاک نیز پرداخته شد.

مواد و روش‌ها

منطقه مورد مطالعه: منطقه مورد مطالعه در شهرستان عباس‌آباد استان مازندران در عرض شمالی ۵۱° ۰' ۳۹" و طول شرقی ۱۱° ۳۶' ۳۹" واقع شده است (شکل ۱) و بر اساس طبقه‌بندی آمریزه در طبقه اقلیمی خیلی مرطوب با زمستان‌های معتدل قرار دارد. میانگین



شکل ۱- موقعیت جغرافیایی منطقه مورد مطالعه در استان مازندران، شمال ایران.

جهت شیب در آن‌ها مشاهده شد. بدین‌منظور در هر یک از رویشگاه‌های مورد مطالعه سه قطعه یک هکتاری با فواصل حداقل ۶۰۰ متر انتخاب شدند. در هر یک از قطعات یک هکتاری (100×100)، تعداد ۴ نمونه از لایه آلی (لاشبک) یا لاشه‌ریزه سطح زمین در محل نمونه‌برداری خاک می‌باشد) و معدنی خاک

نمونه‌برداری و تجزیه آزمایشگاهی: به منظور بررسی اثرات پوشش‌های اراضی بر مشخصه‌های مختلف لایه‌های آلی و معدنی خاک، پس از بررسی‌های اولیه و بازدیدهای میدانی، بخش‌هایی از اراضی فوق الذکر انتخاب شد که به صورت پیوسته با هم بوده و حداقل اختلاف ارتفاع از سطح دریا، حداقل تغییر درصد و

(درصد)، Bd ، جرم مخصوص ظاهری (گرم بر سانتی‌مترمکعب)، D ، عمق نمونه‌برداری خاک (سطح سانتی‌متر \times سانتی‌متر تا عمق ۱۰ سانتی‌متر) (۲۰ سانتی‌متر \times ۳۰ سانتی‌متر تا عمق ۱۰ سانتی‌متر) می‌باشد. فسفر به روش اولسن (۲۴)، پتاسیم، کلسیم و منیزیم قابل‌جذب خاک با استفاده از روش جذب اتمی اندازه‌گیری شد (۲۵). کربن و نیتروژن آلی ذرهای با روش کاهش وزن (۲۶) به وسیله سوزاندن تعیین شد. پس از تعیین مقدار خاکدانه‌های میکرو (ذرات کوچک‌تر از ۰/۲۵ میلی‌متر) و ماکرو (ذرات بزرگ‌تر از ۰/۲۵ میلی‌متر) به روش الکتر (۲۷)، روش والکتی- بلاک برای اندازه‌گیری مقدار کربن و نیتروژن موجود در خاکدانه‌های میکرو و ماکرو مورد استفاده قرار گرفت (۲۸). کربن و نیتروژن آلی محلول به وسیله دستگاه تجزیه کربن آلی (Shimadzu TOC-550A) اندازه‌گیری شد (۲۹).

شاخص مدیریت کربن به روش (۳۰) به دست آمد. مقدار زیستوده درشت ریشه‌ها (قطر بالای ۲ میلی‌متر) و ریزریشه‌ها (قطر کمتر از ۲ میلی‌متر) در مترمربع برای هر رویشگاه به دست آمد (۳۱). از روش انکوباسیون آزمایشگاهی برای سنجش فعالیت آنزیم‌های اوره‌آز، فسفاتاز، آریل سولفاتاز و اینورتاز استفاده شد (۳۲).

مشخصه‌های اقلیمی (رطوبت و حرارت) و زیستی خاک در دو فصل تابستان (مرداد) و پاییز (آبان) مورد بررسی قرار گرفت. برای شناسایی کرم‌های خاکی از روی شکل ظاهری، هر یک از آن‌ها ابتدا به صورت دستی از خاک جدا و پس از شستشو در آب در ظروف حاوی الكل نگهداری شد. با توجه به مشخصه‌های ریخت‌شناسی (اندازه، طول و رنگ بدن) و همچنین مشخصه‌هایی مانند محل قرارگیری و شکل گلیتلوم، محل قرارگیری اندام‌های جنسی روی سگمنت‌ها و گلیتلوم، شکل و نوع اندام‌های جنسی و دیگر مشخصات ظاهری، کرم‌های خاکی مورد شناسایی قرار گرفت (۳۳). نمونه‌های جمع‌آوری شده

(سطح ۳۰ سانتی‌متر \times ۳۰ سانتی‌متر تا عمق ۱۰ سانتی‌متر) برداشت و در مجموع از هر یک از رویشگاه‌های مورد مطالعه تعداد ۱۲ نمونه لایه آلی و ۱۲ نمونه خاک جهت تجزیه و تحلیل به آزمایشگاه منتقل شد. یک بخش از نمونه‌های خاک جهت انجام آزمایش‌های فیزیکی و شیمیایی، پس از هوا خشک شدن از الک ۲ میلی‌متری عبور داده شده و بخش دوم نمونه‌ها برای انجام آزمایش‌های زیستی تا زمان آزمایش در دمای ۴ درجه سانتی‌گراد نگهداری شد (۱۲).

ضخامت لایه بستر در عرصه، مقدار کربن لایه آلی (لاشبُرگ یا لاشه‌ریزه) به روش احتراق (۱۳) و مقدار نیتروژن، فسفر، پتاسیم، کلسیم و منیزیم لاشبُرگ به روش معدنی‌سازی نمونه‌ها (۱۴) در محیط آزمایشگاه اندازه‌گیری شد. برای اندازه‌گیری رطوبت خاک قبل از هوا خشک شدن به مدت ۲۴ ساعت در دمای ۱۰۵ درجه سانتی‌گراد خشک شدند (۱۵). دمای خاک نیز با استفاده از دماسنج دیجیتال برای عمق مورد مطالعه در زمان نمونه‌برداری اندازه‌گیری گردید (۱۶). جرم مخصوص ظاهری به روش کلوخه و جرم مخصوص حقیقی به روش پیکنومتری (۱۷) اندازه‌گیری و سپس تخلخل خاک محاسبه شد (۱۸). پایداری خاکدانه‌ها به روش یودر (۱۹) و بافت خاک به روش هیدرومتری (۲۰) اندازه‌گیری شد. واکنش به روش پتانسیومتری از طریق دستگاه pH متر الکتریکی، هدایت الکتریکی به وسیله EC سنج، کربن آلی خاک به روش والکلی-بلاک (۲۱) و نیتروژن کل به روش کجلدال (۲۲) اندازه‌گیری شدند. میزان ذخیره کربن از رابطه $C_{stock} = 10000 \times OC \times Bd \times D$ نیتروژن از رابطه $N_{stock} = 10000 \times N \times Bd \times D$ (۲۳) محاسبه شد. در این معادلات، C_{stock} و N_{stock} به ترتیب ذخیره کربن و نیتروژن (مگاگرم بر هکتار)، OC ، کربن آلی (درصد)، N ، نیتروژن کل

نتایج و بحث

لایه آلی: نتایج تجزیه و تحلیل ویژگی‌های لایه آلی (لاشبیرگ) خاک در نمونه‌های برداشت شده از پوشش‌های مختلف بیانگر وجود بیشترین مقدار مشخصه ضخامت لاشبیرگ در پوشش جنگل طبیعی و کمترین مقدار آن به جنگل کاری خالص پلت می‌باشد. بیشترین و کمترین میزان نسبت کربن به نیتروژن لاشبیرگ به ترتیب در پوشش مرتعی و جنگل طبیعی مشاهده شد. همچنین پوشش جنگل طبیعی دارای بیشترین مقادیر نیتروژن و فسفر لاشبیرگ و کمترین مقادیر این مشخصه‌ها در پوشش مرتعی بود. اما مشخصه‌های کربن، پتاسیم و منیزیم لاشبیرگ در انواع پوشش‌ها، اختلاف معنی‌داری نشان ندادند (جدول ۱). با توجه به بررسی‌های انجام شده، کمیت و کیفیت مواد آلی در رویشگاه‌های دارای پوشش‌های گیاهی مختلف، متفاوت می‌باشد (۴۳). در رویشگاه‌های جنگل طبیعی با توجه به وجود گونه‌های درختی غالب متفاوت نسبت به رویشگاه‌های فاقد حضور گونه‌های درختی، به دلیل تفاوت در کیفیت بستر و ترشحات ریشه، ویژگی‌های لایه آلی نسبت به سایر پوشش‌ها مطلوب‌تر می‌باشد و تغییر کاربری از جنگل طبیعی به سایر کاربری‌ها موجب کاهش حاصل‌خیزی لایه آلی خاک می‌شود (۴۴) که این موضوع در پژوهش حاضر در ویژگی‌های درصد نیتروژن، نسبت کربن به نیتروژن، درصد فسفر، درصد کلسیم و ضخامت لاشبیرگ مشاهده شد. مقادیر غلطت‌های فسفر و کلسیم در جنگل طبیعی بیشتر از سایر کاربری‌ها بوده است بنابراین، انتظار تجزیه سریع‌تر در تجزیه لاشبیرگ‌های این کاربری می‌رود (۴۵). غنای گونه‌ای درختی موجود در جنگل طبیعی می‌تواند جذب فسفر خاک را تسهیل کند، که موجب بهبود زیستوده سطح خاک و افزایش ضخامت لایه آلی می‌شود (۴۶) که ضخامت بیشتر لایه آلی در جنگل طبیعی را توجیه می‌کند. تخریب جنگل و تبدیل آن به اکوسیستم ثانویه

کرم‌های خاکی تمیز و شمارش شد، در پاکت‌های مقواپی قرار داده شده و به مدت ۴۸ ساعت در دمای ۶۰ درجه سلسیوس خشک شد و سپس وزن آنها به‌وسیله ترازو تا دقیق میلی‌گرم اندازه‌گیری شد (۳۴). شمارش کنه‌ها و پادمان‌ها به روش قیف برلیز، نماتدهای خاکزی با استفاده از تکنیک قیف بیرمن و سانتریفیوژ (۳۵)، پروتوزوئرهای خاک به‌وسیله میکروسکوپ با بزرگنمایی ۵۰ (۳۸)، جمعیت باکتری‌ها و قارچ‌های خاکزی به روش کشت (۳۶) در محیط آزمایشگاه ثبت شد. تنفس پایه خاک با استفاده از روش بطری درسته (۳۷) و تنفس برانگیخته خاک، همانند روش تنفس پایه با اضافه کردن میزان ۱ میلی‌لیتر گلوكز ۱ درصد برای هر نمونه خاک ۱۰ گرمی اندازه‌گیری شد (۳۸). کربن و نیتروژن زیستوده میکروبی خاک نیز به روش تدخین استخراج اندازه‌گیری شد (۳۹). اندازه‌گیری آمونیوم به روش Idophenol blue method (۴۰) و قرائت عصاره در طول موج ۶۴۵ نانومتر توسط دستگاه طیف‌سنج انجام شد (که اساس آن بر واکنش بین فنل و آمونیوم است) و اندازه‌گیری نیترات با دستگاه فتوتمتر (در طول موج ۴۲ نانومتر) به روش نیترات صورت پذیرفت (۴۱). برای سنجش فرآیندهای آمونیفیکاسیون، نیتریفیکاسیون و معدنی شدن نیتروژن از روش کیسه مدفعون استفاده شد (۴۲، ۴۳).

تجزیه آماری داده‌ها: جهت تجزیه، تحلیل و همچنین مقایسه داده‌ها ابتدا نرمال بودن آنها با استفاده از آزمون کولموگراف اسمیرنوف و همگنی واریانس با آزمون لون بررسی شد. بررسی تفاوت یا عدم تفاوت مقادیر مشخصه‌های مورد مطالعه در ارتباط با پوشش‌های اراضی، برای مشخصه‌های لاشبیرگ، فیزیکی، شیمیایی و زیستی (در فصول تابستان و پاییز) با تجزیه واریانس یک‌طرفه انجام شد. در نهایت مقایسه چندگانه میانگین در نمونه‌های برداشتی با آزمون دانکن در نرم‌افزار SPSS 26 انجام پذیرفت.

آلی خاک می‌شود (۴۹). از آنجا که درصد کربن در رویشگاه‌های مورد مطالعه تغییرات معناداری از خود نشان نداد متفاوت بودن نسبت کربن به نیتروژن در بین این مناطق را می‌توان مرتبط با میزان نیتروژن دانست که این موضوع توسط تولسا و سنتا (۲۰۱۸) نیز تأیید شد (۵۰).

موجب کاهش کلسیم لایه آلی خاک می‌شود (۴۷). تجزیه لاشبرگ در جنگل طبیعی موجب افزایش نیتروژن و کاهش نسبت کربن به نیتروژن شده که نتایج این قسمت با پژوهش‌های پیشین دیوی و همکاران (۲۰۰۷) مطابقت دارد (۴۸). حضور پوشش‌های ثانویه که در اثر تخریب جنگل‌ها و تغییر کاربری به وجود می‌آید موجب کاهش نیتروژن لایه

جدول ۱- تجزیه واریانس (میانگین \pm اشتباہ معیار) ویژگی‌های لایه آلی در رویشگاه‌های مورد مطالعه.

Table 1. ANOVA (\pm standard error) for organic layer characteristics in the studied habitats.

| تجزیه واریانس ANOVA | | | رویشگاه Habitats | | | | ویژگی‌های لایه آلی Organic properties |
|------------------------|--------------------|-------------------------------|-------------------------------------|--|---|-------------------------------|---|
| معنی داری Sig. | F مقدار F value | پوشش مرتعی Rangeland | جنگل کاری Pure pellet plantation | جنگل کاری خالص توسکا Pure alder plantation | جنگل کاری آمیخته Mixed plantation | جنگل طبیعی Natural forest | |
| 0 | 28.142 | 6.29 \pm 0.38 ^c | 5.19 \pm 0.60 ^c | 6.38 \pm 0.12 ^c | 8.81 \pm 0.55 ^b | 11 \pm 0.36 ^a | ضخامت (سانتی‌متر) Thickness (cm) |
| 0.297 | 1.261 | 49.85 \pm 3.51 ^a | 49.31 \pm 5.90 ^a | 40.79 \pm 3.99 ^a | 49.07 \pm 5.21 ^a | 39.45 \pm 3.75 ^a | کربن (درصد) Carbon (%) |
| 0 | 9.391 | 1.63 \pm 0.27 ^b | 1.74 \pm 0.31 ^b | 2.23 \pm 0.33 ^b | 3.12 \pm 0.31 ^a | 3.82 \pm 0.29 ^a | نیتروژن (درصد) Nitrogen (%) |
| 0 | 7.181 | 42.86 \pm 7.31 ^a | 36.01 \pm 6.33 ^{ab} | 24.28 \pm 4.67 ^{bc} | 16.78 \pm 2.13 ^c | 10.95 \pm 1.23 ^c | نسبت کربن به نیتروژن C/N ratio |
| 0 | 5.940 | 2.98 \pm 0.3 ^c | 3.69 \pm 0.34 ^{bc} | 4.29 \pm 0.46 ^{ab} | 4.37 \pm 0.34 ^{ab} | 5.28 \pm 0.27 ^a | فسفر (درصد) Phosphorus (%) |
| 0.106 | 2.008 | 2.02 \pm 0.41 ^b | 2.07 \pm 0.33 ^b | 2.23 \pm 0.32 ^{ab} | 2.84 \pm 0.46 ^{ab} | 3.36 \pm 0.49 ^a | پتاسیم (درصد) Potassium (%) |
| 0 | 13.849 | 1.09 \pm 0.3 ^c | 1.63 \pm 0.29 ^{bc} | 1.65 \pm 0.28 ^{bc} | 2.14 \pm 0.2 ^b | 3.91 \pm 0.35 | کلسیم (درصد) Calcium (%) |
| 0.978 | 0.111 | 0.73 \pm 0.2 ^a | 0.82 \pm 0.17 ^a | 0.80 \pm 0.17 ^a | 0.89 \pm 0.17 ^a | 0.83 \pm 0.15 ^a | میزبیم (درصد) Magnesium (%) |

و کمترین مقدار آن به خاک رویشگاه جنگل کاری آمیخته و جنگل طبیعی تعلق داشت. حداقل مقدار پایداری خاکدانه در جنگل طبیعی و کمترین مقدار آن در پوشش مرتعی می‌باشد. اما مشخصه‌های جرم مخصوص حقیقی، تخلخل، سیلت، خاکدانه درشت و ریز، نسبت خاکدانه درشت به ریز در انواع پوشش‌های دارای اختلاف معنی‌داری نمی‌باشند (جدول ۲). اجزای بافت (شن، سیلت و رس) خاک در بلندمدت می‌تواند تغییرات معنی‌داری را به واسطه

لایه معدنی مشخصه‌های فیزیکی: نتایج تجزیه واریانس بیانگر عدم تفاوت معنی‌دار در اکثر پارامترهای فیزیکی خاک در بین رویشگاه‌ها است. کمترین مقدار درصد شن در جنگل طبیعی و بیشترین مقدار آن در جنگل کاری خالص توسکا مشاهده شد، هم‌چنین بیشترین میزان درصد رس در جنگل طبیعی و کمترین مقدار آن به جنگل کاری خالص توسکا تعلق داشت. بیشترین مقدار جرم مخصوص ظاهری خاک در پوشش مرتعی

قرار دارد و متأثر از پوشش سطح خاک، مواد آلی، ساختار و تخلخل خاک است (۵۳). هرچه بافت خاک رسی‌تر، ساختمان خاک مطلوب‌تر و خاک غیرمتراکم‌تر باشد تخلخل و پایداری خاکدانه بیش‌تر بوده در نتیجه جرم مخصوص ظاهری خاک کمتر می‌شود (۵۴). این روند در جنگل طبیعی مشاهده شد. پایداری خاکدانه‌ها به طور قابل توجهی تحت تأثیر نوع کاربری زمین قرار دارد در کاربری جنگل و به خصوص جنگل طبیعی، بدلیل بیش‌تر بودن مواد آلی و فعالیت‌های میکروبی، پلی‌ساقارید بیش‌تری تولید شده که در نتیجه آن عامل سیمان‌کنندگی و پایداری خاکدانه‌ها افزایش می‌یابد (۵۵).

تحولات خاک و همچنین توالی‌های پوشش گیاهی نشان دهد، که هم راستا با نتایج پژوهش حاضر می‌باشد. بافت، ساختمان و تراکم خاک به عنوان مؤثرترین عوامل بر جرم مخصوص ظاهری خاک به شمار می‌روند. به طورکلی، هرچه بافت خاک رسی‌تر، ساختمان خاک مطلوب‌تر و خاک غیرمتراکم‌تر باشد تخلخل و پایداری خاکدانه خاک بیش‌تر بوده، در نتیجه جرم مخصوص ظاهری خاک کمتر می‌شود (۵۱). هم‌راستا با پژوهش حاضر آجنا و آبگاز (۲۰۱۶) نشان دادند که در صد رس در زمین‌های جنگلی به نسبت اراضی مرتعی بالاتر بوده است (۵۲). جرم مخصوص ظاهری خاک از مهم‌ترین خواص فیزیکی خاک است که تحت تأثیر سیستم خاک‌ورزی

جدول ۲- تجزیه واریانس (میانگین ± اشتباہ معیار) ویژگی‌های فیزیکی خاک در رویشگاه‌های مورد مطالعه.

Table 2. ANOVA (\pm standard error) for soil physical characteristics in the studied habitats.

| تجزیه واریانس ANOVA | | | رویشگاه Habitats | | | | | ویژگی‌های خاک Soil properties |
|------------------------|--------------------|-------------------------|-------------------------------------|--|---|------------------------------|--|---|
| معنی‌داری Sig. | مقدار F F value | پوشش مرتعی Rangeland | جنگل کاری Pure pellet plantation | جنگل کاری خالص پلت خالص توسکا Pure alder plantation | جنگل کاری آمیخته mixed plantation | جنگل طبیعی Natural forest | | جرم مخصوص ظاهری (گرم بر سانتی‌مترمکعب) Bulk density (g cm ⁻³) |
| 0.000 | 8.312 | 1.26±0.03 ^a | 1.23±0.02 ^a | 1.30±0.05 ^a | 1.07±0.01 ^b | 1.10±0.04 ^b | | جرم مخصوص ظاهری (گرم بر سانتی‌مترمکعب) Bulk density (g cm ⁻³) |
| 0.982 | 0.100 | 2.66±0.31 ^a | 2.58±0.11 ^a | 2.60±0.08 ^a | 2.60±0.08 ^a | 2.62±0.07 ^a | | جرم مخصوص حقیقی (گرم بر سانتی‌مترمکعب) Particle density (g cm ⁻³) |
| 0.653 | 0.616 | 45±0.03 ^a | 49±0.02 ^a | 42±0.02 ^a | 46±0.02 ^a | 43±0.04 ^a | | تخلخل (درصد) Porosity (%) |
| 0.005 | 4.141 | 53.10±3.62 ^b | 58.54±2.63 ^b | 59.72±6.26 ^b | 65.10±3.94 ^{ab} | 74.08±1.04 ^a | | پایداری (درصد) Stability (%) |
| 0.005 | 4.249 | 28.83±1.72 ^a | 29.67±2.31 ^a | 33.75±4.52 ^a | 26.08±1.47 ^{ab} | 19.58±1.18 ^b | | شن (درصد) Sand (%) |
| 0.146 | 1.781 | 40.83±2.28 ^a | 32.58±3.27 ^b | 39.00±2.99 ^{ab} | 40.50±1.75 ^a | 38.17±1.79 ^{ab} | | سیلت (درصد) Silt (%) |
| 0.000 | 7.343 | 30.33±0.97 ^c | 37.75±2.26 ^{ab} | 27.25±3.19 ^c | 33.42±1.86 ^{bc} | 42.25±2.07 ^a | | رس (درصد) Clay (%) |
| 0.093 | 2.100 | 26.08±2.69 ^a | 26.33±3.67 ^a | 31.75±3.05 ^a | 34.17±3.49 ^a | 39.58±5.84 ^a | | خاکدانه درشت Macro-aggregate (g kg ⁻¹) |
| 0.260 | 4.360 | 32.58±6.82 ^b | 40.42±6.77 ^{ab} | 41.17±7.95 ^{ab} | 46.08±6.89 ^{ab} | 54.83±6.55 ^a | | خاکدانه ریز Micro-aggregate (g kg ⁻¹) |
| 0.825 | 0.376 | 1.21±0.22 ^a | 0.89±0.18 ^a | 1.24±0.32 ^a | 1.22±0.41 ^a | 0.93±0.21 ^a | | نسبت خاکدانه درشت به ریز Macro/Micro-aggregate ratio (g kg ⁻¹) |

را دارد، همراه با فقدان فعالیت‌های خاکورزی و سرعت پایین تجزیه می‌تواند باعث افزایش کربن آلی محلول خاک شود (۵۸). زیاد بودن میزان کربن آلی خاک در پوشش جنگل طبیعی به‌دلیل بالاتر بودن سرعت تجزیه مواد آلی و وجود بقایای گیاهی است (۵۹). نیتروژن کل و مشتقات آن در خاک نیز در اثر تغییر کاربری، کاهش می‌یابد که کاهش لاشبرگ علت عمدۀ این موضوع است (۶۰). بیشتر بودن میزان پتانسیم در خاک رویشگاه‌های جنگلی به‌علت جابه‌جایی پتانسیم از لایه‌های پایین‌تر، به خاک سطحی توسط پوشش گیاهی می‌باشد (۶۱). به‌طور کلی، توزیع فسفر در خاک توسط چرخه ژئوشیمیابی مشخص می‌شود و لوث و همکاران (۲۰۲۰) همسو با نتایج پژوهش حاضر بیشترین میزان فسفر خاک را در رویشگاه‌های جنگلی گزارش کردند (۶۰). هم‌چنان رام و همکاران (۲۰۲۲) تأکید دارند که محتوای کربن آلی بیش‌تر، فعالیت‌های آنزیم اوره آز در خاک را تشدید می‌کند (۶۲). برای مرتع و رویشگاه‌های جنگلی، فعالیت‌های آنزیم آریل سولفاتاز وابسته به محتویات اشکال مختلف کربن، زیست توده میکروبی گوگرد و گوگرد کل خاک می‌باشد (۶۳). تغییرات آنزیم اینورتاز به کربن آلی، نیتروژن کل و فسفر بستگی دارد (۶۴). در پژوهشی بوراکا و همکاران (۲۰۲۳) نشان دادند که بیشترین مقدار منیزیم و کلسیم در اراضی جنگلی بوده و کمترین میزان آن در اراضی مرتعی است که همسو با نتایج پژوهش حاضر است (۶۵). مطالعه شی و همکاران (۲۰۰۷) نشان داد که تنوع گونه‌ها در جنگل طبیعی نسبت به اراضی تخریب‌یافته بیش‌تر است و می‌تواند دلیلی برای افزایش زیستوده ریزرسیه در جنگل طبیعی باشد (۶۶) که هم‌راستا با نتایج این پژوهش بوده و بیشترین میزان زیستوده به جنگل طبیعی و کمترین میزان آن به پوشش مرتعی اختصاص داشت. در پژوهشی ما و

مشخصه‌های شیمیابی: طبق نتایج حاصل از آنالیز مشخصه‌های شیمیابی خاک، بیشترین و کمترین مقادیر کربن آلی ذره‌ای، نیتروژن در خاکدانه درشت، نیتروژن آلی ذره‌ای، نسبت کربن به نیتروژن، فسفر، پتاسیم، کلسیم، منیزیم، زیستوده درشت ریشه، زیستوده ریز ریشه، آنزیم اوره آز و آنزیم اسید سلفاتاز به‌ترتیب در جنگل طبیعی و پوشش مرتعی می‌باشد. بیشترین مقادیر پارامترهای کربن میکرو خاکدانه و کربن به جنگل کاری آمیخته و کمترین میزان آن به جنگل کاری خالص پلت تعلق داشت. بیشترین مقادیر نیتروژن، کربن آلی محلول، ذخیره نیتروژن، در جنگل طبیعی و کمترین مقدار آن در جنگل کاری خالص پلت است. مقدار ذخیره کربن در پوشش مرتع بیشترین و در جنگل کاری خالص پلت دارای کمترین مقدار می‌باشد. نسبت کربن خاکدانه درشت به ریز دارای بیشترین مقدار در جنگل طبیعی و کمترین مقدار در جنگل کاری آمیخته می‌باشد. مشخصه‌های واکنش خاک، کربن در خاکدانه درشت، شاخص مدیریت کربن، نیتروژن در خاکدانه ریز، نسبت نیتروژن خاکدانه درشت به ریز، نسبت کربن به نیتروژن آلی محلول، نسبت کربن به نیتروژن آلی ذره‌ای، آنزیم اینورتازو آنزیم آریل سولفاتاز در انواع پوشش‌ها دارای اختلاف معنی‌دار نمی‌باشند (جدول ۳). مطالعه مولگنا و همکاران (۲۰۱۹) نشان داد که محتوای نیتروژن و محتوی کلسیم در زمین‌های جنگلی نسبت به اراضی مرتعی بالاتر بوده است (۵۶). کربن آلی خاک و مشتقات آن در لایه‌ها و خاکدانه‌های مختلف بسیار تحت تأثیر تغییر کاربری قرار دارد و به‌طور چشمگیری بعد از تغییر کاربری کاهش می‌یابد، که علت اصلی آن بازگشت کمتر زیستوده و بقایای گیاهی به خاک می‌باشد (۵۷). افزودن سالانه مقدار زیادی ماده آلی به شکل لاشبرگ، که به‌طور بالقوه در پوشش جنگل طبیعی بالاترین مقدار

تبديل آن به اراضی دیگر موجب افزایش ۲۲ درصد فرسایش خاک شده است (۵۶).

همکاران (۲۰۲۳) بیان داشتند که تغییر در پوشش گیاهی و کاربری اراضی موجب کاهش و افت خصوصیات شیمیایی خاک شده و تخریب جنگل و

جدول ۳- تجزیه واریانس (میانگین ± اشتباه معیار) ویژگی های شیمیایی خاک در رویشگاه های مورد مطالعه.

Table 3. ANOVA (\pm standard error) for soil chemical characteristics in the studied habitats.

| تجزیه واریانس ANOVA | | | رویشگاه Habitats | | | | ویژگی های خاک Soil properties |
|------------------------|------------------|-----------------------------|--|---|--|------------------------------|--|
| معنی داری Sig. | مقدار F value | پوشش مرتعی Rangeland | جنگل کاری خالص پلت Pure pellet plantation | جنگل کاری خالص توسکا Pure alder plantation | جنگل کاری آمیخته mixed plantation | جنگل طبیعی Natural forest | |
| 0.021 | 3.142 | 0.27±0.01 ^b | 0.27±0.01 ^b | 0.25±0.02 ^b | 0.29±0.01 ^{ab} | 0.33±0.01 ^a | هدايت الکتریکی (دسمی زیمنس بر متر) EC (dS/m) |
| 0.030 | 2.908 | 4.82±0.42 ^{ab} | 3.80±0.26 ^b | 4.63±0.24 ^{ab} | 5.41±0.44 ^a | 4.47±0.25 ^{ab} | کربن (درصد) C (%) |
| 0.062 | 2.387 | 60.06±5.06 ^a | 47.00±3.67 ^b | 59.93±3.65 ^a | 57.99±4.99 ^{ab} | 48.72±2.72 ^{ab} | ذخیره کربن (مگا گرم بر هکتار) C stock ($Mg\ ha^{-1}$) |
| 0.167 | 1.684 | 5.22±0.26 ^a | 4.63±0.30 ^a | 5.34±0.25 ^a | 5.28±0.23 ^a | 4.46±0.46 ^a | کربن در خاکدانه درشت C in Macro-aggregate ($g\ kg^{-1}$) |
| 0.000 | 6.032 | 4.28±0.34 ^{ab} | 2.61±0.34 ^c | 4.21±0.49 ^{ab} | 5.29±0.15 ^a | 3.74±0.53 ^b | کربن در خاکدانه ریز C in Micro-aggregate ($g\ kg^{-1}$) |
| | | | | | | | نسبت کربن خاکدانه |
| 0.016 | 3.343 | 1.29±0.10 ^b | 2.17±0.32 ^a | 1.49±0.19 ^{ab} | 1.02±0.06 ^b | 1.52±0.34 ^{ab} | درشت به ریز Macro/Micro-aggregate C ratio ($g\ kg^{-1}$) |
| | | | | | | | کربن آبی محلول |
| 0.046 | 2.604 | 4.28±2.61 ^b | 2.61±3.49 ^b | 4.21±4.70 ^{ab} | 35.13±4.05 ^{ab} | 41.91±7.62 ^a | ذخیره کربن آبی ذراهای (میلی گرم بر کیلوگرم) Dissolved organic C ($mg\ kg^{-1}$) |
| 0.024 | 3.048 | 2.46±0.23 ^b | 2.81±0.38 ^b | 2.94±0.48 ^b | 3.16±0.39 ^b | 4.34±0.49 ^a | گرم بر کیلوگرم Particulate organic C ($mg\ kg^{-1}$) |
| 0.481 | 0.882 | 1118.53±216.43 ^a | 1635.92±474.17 ^a | 1073.55±178.01 ^a | 1021.82±216.31 ^a | 1011.11±203.54 ^a | شاخص مدیریت کربن Carbon management index |
| 0.000 | 8.113 | 0.27±0.02 ^c | 0.27±0.03 ^c | 0.36±0.04 ^{bc} | 38±0.03 ^b | 0.49±0.02 ^a | نیتروژن (درصد) Total N (%) |
| 0.003 | 4.573 | 3.35±0.35 ^c | 3.33±0.37 ^c | 4.74±0.59 ^{ab} | 4.10±0.36 ^{bc} | 5.32±0.26 ^a | ذخیره نیتروژن (مگا گرم بر هکتار) N stock ($Mg\ ha^{-1}$) |
| 0.024 | 3.067 | 0.34±0.04 ^b | 0.42±0.07 ^b | 0.40±0.04 ^b | 0.51±0.06 ^{ab} | 0.60±0.05 ^a | نیتروژن در خاکدانه درشت N in Macro-aggregate ($g\ kg^{-1}$) |
| 0.242 | 1.414 | 0.11±0.02 ^a | 0.17±0.05 ^a | 0.25±0.04 ^a | 0.15±0.04 ^a | 0.22±0.06 ^a | نیتروژن در خاکدانه ریز N in Micro-aggregate ($g\ kg^{-1}$) |
| 0.266 | 1.342 | 7.20±2.75 ^a | 10.36±4.76 ^a | 2.75±0.82 ^a | 18.03±8.10 ^a | 16.23±7.22 ^a | نسبت نیتروژن خاکدانه درشت به ریز Macro/Micro-aggregate N ratio ($g\ kg^{-1}$) |

ادامه جدول ۳

Continue Table 3.

| تجزیه واریانس ANOVA | | رویشگاه Habitats | | | | ویژگی‌های خاک Soil properties | |
|------------------------|--------------------|---------------------------|---|---|---|----------------------------------|--|
| معنی داری Sig. | مقدار F F value | پوشش مرتعی Rangeland | جنگل کاری خالص پلت Pure pellet plantation | جنگل کاری خالص تو سکا Pure alder plantation | جنگل کاری آمیخته mixed plantation | جنگل طبیعی Natural forest | |
| 0.000 | 9.419 | 11.42±1.10 ^b | 14.11±1.71 ^b | 16.33±2.39 ^b | 15.88±1.45 ^b | 30.46±4.15 ^a | نیتروژن آبی محلول (میلی گرم بر کیلوگرم) Dissolved organic N (mg kg ⁻¹) |
| 0.010 | 3.664 | 0.23±0.02 ^b | 0.29±0.05 ^b | 0.25±0.05 ^b | 0.26±0.07 ^b | 0.47±0.4 ^a | نیتروژن آبی ذرهای (گرم بر کیلوگرم) Particulate organic N (mg kg ⁻¹) |
| 0.001 | 5.741 | 18.61±0.87 ^a | 16.30±2.70 ^a | 14.36±1.37 ^a | 14.36±0.71 ^a | 9.17±0.23 ^b | نسبت کربن به نیتروژن C/N ratio نسبت کربن به نیتروژن C/N ratio |
| 0.992 | 0.276 | 2.08±0.21 ^a | 2.22±0.48 ^a | 2.11±0.26 ^a | 2.47±0.40 ^a | 1.92±0.47 ^a | آبی محلول Dissolved organic C/N ratio نسبت کربن به نیتروژن آبی ذرهای Particulate organic C/N ratio |
| 0.367 | 1.098 | 15.43±3.90 ^a | 20.86±7.22 ^a | 14.16±2.43 ^a | 19.65±3.51 ^a | 9.94±1.53 ^a | فسفر (میلی گرم بر کیلوگرم) Available P (mg kg ⁻¹) |
| 0.000 | 17.358 | 17.06±1.85 ^d | 19.83±2.47 ^{cd} | 26.77±2.50 ^c | 34.28±3.28 ^b | 43.96±2.83 ^a | پاتاسیم (میلی گرم بر کیلوگرم) Available K (mg kg ⁻¹) |
| 0.000 | 11.139 | 198.75±20.17 ^d | 219.67±28.62 ^{cd} | 294.00±27.06 ^{bc} | 329.5±3132 ^b | 417.67±23.29 ^a | کلسیم (میلی گرم بر کیلوگرم) Available Ca (mg kg ⁻¹) |
| 0.000 | 7.061 | 32.58±6.82 ^b | 40.42±6.77 ^{ab} | 41.17±7.95 ^{ab} | 46.08±6.89 ^{ab} | 54.83±6.55 ^a | منزین (میلی گرم بر کیلوگرم) Available Mg (mg kg ⁻¹) |
| 0.000 | 17.623 | 174.25±16.67 ^b | 204.67±20.69 ^b | 213.33±18.70 ^b | 220.67±20.66 ^b | 304.25±1351 ^a | زیستود درشت ریشه (کیلوگرم بر هکتار) Coarse root biomass (kg ha ⁻¹) |
| 0.000 | 13.607 | 31.33±2.33 ^c | 40.08±4.49 ^c | 42.67±4.82 ^c | 65.08±6.58 ^b | 78.58±4.05 ^a | زیستود ریز ریشه (گرم بر مترمربع) Fine root biomass (g m ⁻²) |
| 0.000 | 7.585 | 15.73±1.21 ^b | 17.96±1.21 ^b | 18.65±2.26 ^b | 19.82±2.86 ^{ab} | 25.17±1.56 ^a | آنزیم اوره آز Urease ($\mu\text{g NH}_4^+ \text{-N g}^{-1} 2 \text{ h}^{-1}$) |
| 0.384 | 1.062 | 170.92±31.89 ^c | 172.08±46.10 ^c | 324.25±57.85 ^b | 316.75±38.43 ^b | 487.92±58.41 ^a | آنزیم اسید فسفاتاز Acid phosphatase ($\mu\text{g PNP g}^{-1} \text{ h}^{-1}$) |
| 0.063 | 2.379 | 67.17±7.31 ^a | 85.83±22.73 ^a | 97.33±41.78 ^a | 105.50±15.28 ^a | 131.58±11.71 ^a | آنزیم آریل سولفاتاز Arylsulphatase ($\mu\text{g PNP g}^{-1} \text{ h}^{-1}$) |
| 0.000 | 8.312 | 77.50±13.88 ^b | 95.75±14.39 ^b | 164.17±50.97 ^{ab} | 156.17±45.43 ^a | 206.42±27.63 ^a | آنزیم اینورتاز Invertase ($\mu\text{g Glucose g}^{-1} 3 \text{ h}^{-1}$) |

ماکروفون‌ها در این رویشگاه‌ها گزارش شده است (۶۹). هم‌چنین سیراجول و حاقو (۲۰۱۴) کاهش معنادار آنسیک خاک را نتیجه جنگل‌زدایی‌ها می‌دانند و بیشترین مقدار اپیژئیک خاک را برای رویشگاه‌های جنگلی گزارش کردند (۷۰). با جنگل‌زدایی سرعت تبخیر آب افزایش یافته و موجب خشک شدن خاک می‌شود که به دنبال آن جمعیت و تنوع کرم‌های خاکی با از دست دادن رطوبت از طریق پوست، کاهش می‌یابد (۷۱).

در تأیید نتایج پژوهش حاضر، مطالعات نشان می‌دهد که فراوانی کنه خاکزی بهدلیل در دسترس تر بودن غذا، تجمع بستر و فاکتورهای فیزیکی و شیمیایی مطلوب‌تر در جنگل‌های طبیعی نسبت به اراضی تغییر کاربری یافته، بیشتر است (۷۲). نوع پوشش گیاهی و شرایط خاک مانند pH و دسترسی به مواد غذایی اصلی‌ترین عامل تغییرات فراوانی پادمان خاکزی در کاربری‌های مختلف می‌باشد (۷۳). پژوهش افضل و همکاران (۲۰۲۳) تغییرات فراوانی نماتد کل خاکزی را بهدلیل تغییرات شبکه غذایی وابسته به تغییر کاربری می‌داند که این موضوع در رابطه با فراوانی پروتوزوئر نیز برقرار است (۷۴). در اکثر اکوسیستم‌ها فراوانی جمعیت قارچ‌های خاک با حذف پوشش گیاهی بهدلیل کاهش میزان و تنوع زیست‌توده‌ها، کاهش می‌یابد (۷۵). تنفس خاک نشان‌دهنده فعالیت‌های زیستی و تجزیه بقایای گیاهی است (۷۶). هم‌چنین محتوی رطوبت خاک نقش اساسی در تنفس میکروبی خاک دارد (۷۷). بر همین اساس در پژوهش حاضر، بیشترین میزان تنفس خاک به جنگل‌کاری آمیخته متعلق بود. تأثیرپذیری کربن زیست‌توده میکروبی و نیتروژن زیست‌توده میکروبی از تغییر کاربری زیاد بوده که دلیل اصلی آن‌ها تفاوت گونه‌های مختلف گیاهی و تأثیر پوشش بر فرآیندهای میکروبی خاک می‌باشد (۷۸).

مشخصه‌های زیستی: نتایج بیانگر وجود تفاوت‌های معنی‌دار در مشخصه‌های زیستی خاک در پوشش‌های مورد بررسی بوده و اکثر مشخصه‌های مورد بررسی در جنگل طبیعی دارای بیشترین مقدار و در پوشش مرتعی کم‌ترین مقدار دارا می‌باشد. فراوانی و زیست‌توده اپیژئیک، آنسیک و اندوزئیک در فصل تابستان بین رویشگاه‌ها دارای اختلاف معنی‌داری نمی‌باشد. بیشترین مقدار تنفس پایه در دو فصل (پاییز و تابستان) در جنگل‌کاری آمیخته و کم‌ترین مقدار آن در پوشش مرتعی می‌باشد. هم‌چنین بیشترین میزان تنفس میکروبی برانگیخته در فصل تابستان متعلق به جنگل‌کاری آمیخته و در فصل پاییز در جنگل‌کاری خالص پلت می‌باشد و کم‌ترین میزان این مشخصه در هر دو فصل در پوشش مرتعی مشاهده شد. بیشترین میزان کربن زیست‌توده میکروبی در فصل تابستان در جنگل طبیعی و در فصل پاییز در جنگل‌کاری آمیخته می‌باشد. کم‌ترین میزان این مشخصه در هر دو فصل متعلق به پوشش مرتعی است. هم‌چنین بیشترین میزان نیتروژن زیست‌توده میکروبی در جنگل طبیعی و کم‌ترین مقدار آن در پوشش مرتعی می‌باشد. بیشترین میزان نسبت کربن به نیتروژن زیست‌توده در پاییز به جنگل‌کاری آمیخته و کم‌ترین مقدار متعلق به جنگل طبیعی می‌باشد. هم‌چنین در فصل تابستان این پارامتر اختلاف معنی‌داری را در بین پوشش‌های مورد بررسی نشان نداد (جدول ۴). جنگل‌زدایی باعث افزایش pH، کلسیم و هم‌چنین موجب کاهش رطوبت خاک در پوشش جنگل طبیعی می‌شود، که موجب از بین رفتن مورفوگونه‌های کرم خاکی می‌شود (۷۹). فراوانی و تنوع ماکروفون‌ها همبستگی مثبتی با مواد آلی خاک، کربن و نیتروژن زیست‌توده میکروبی و تخلخل کل و همبستگی منفی با تراکم خاک دارد (۸۰). با توجه به مساعدتر بودن این شرایط در رویشگاه‌های جنگلی، بیشتر بودن تراکم و زیست‌توده

جدول ۴- تجزیه واریانس (میانگین \pm اشباه میار) پویایی کلیما، فون و فلور خاک در روشنگاه‌های مورد مطالعه.

Table 4. ANOVA (Mean \pm standard error) for dynamics of climate, soil fauna and flora in the studied habitats.

| ANOVA | | | | Habitats | | | | فصل | | | | | | |
|-------|---------|-------------------------------|--------------------------------|-------------------------------|-------------------------------|-------------------------------|------------------------|-------------------------------|--------------------------------|-----------------------------------|-------------------------------|-------------|---------------------------------------|---|
| Sig. | F value | معنی داری | مقدار F | پوشش مرتعی | پوشش رنگلند | جنگل کاری خالص پلت | Pure pellet plantation | جنگل کاری خالص توسکا | جنگل کاری خالص نوکسا | جنگل کاری آمیخته mixed plantation | Natural forest | جهانی طبیعی | کلیما، فون و فلور خاک | climate, soil fauna and flora |
| 0.000 | 21.624 | 15.77 \pm 0.64 ^c | 16.48 \pm 0.87 ^c | 19.56 \pm 0.64 ^b | 22.40 \pm 0.83 ^a | 23.88 \pm 0.81 ^a | Summer | 23.88 \pm 0.81 ^a | 29.83 \pm 2.51 ^{ab} | 30.08 \pm 6.81 ^{ab} | 32.92 \pm 2.38 ^a | Autumn | رطوبت خاک (درصد.) | Moisture (%) |
| 0.006 | 4.080 | 22.16 \pm 2.19 ^c | 25.16 \pm 1.39 ^{bc} | 26.20 \pm 0.71 ^a | 22.26 \pm 1.13 ^b | 20.61 \pm 0.68 ^b | Summer | 19.39 \pm 0.97 ^b | 17.83 \pm 1.51 ^a | 18.56 \pm 1.44 ^a | 15.86 \pm 1.25 ^a | Autumn | دماخای (درجه سانتی گراد) | Temperature (°C) |
| 0.000 | 15.233 | 28.40 \pm 1.24 ^a | 0.00 \pm 0.00 ^b | 0.08 \pm 0.08 ^{ab} | 0.00 \pm 0.00 ^b | 0.33 \pm 0.18 ^{ab} | Summer | 0.41 \pm 0.19 ^a | 0.16 \pm 0.16 ^b | 0.00 \pm 0.00 ^a | 0.33 \pm 0.18 ^{ab} | Autumn | فرآونی آنکاریک (تعداد در متربمربع) | Anecic density (n m ⁻²) |
| 0.659 | 0.607 | 20.25 \pm 1.44 ^a | 0.00 \pm 0.00 ^b | 0.08 \pm 0.08 ^{ab} | 0.00 \pm 0.00 ^b | 0.16 \pm 0.16 ^b | Summer | 1.50 \pm 0.31 ^a | 1.23 \pm 1.23 ^a | 1.23 \pm 1.23 ^a | 4.82 \pm 2.59 ^a | Autumn | زنتوده آنکاریک (میلی گرم در متربمربع) | Epigeic density (n m ⁻²) |
| 0.061 | 2.401 | 0.00 \pm 0.00 ^b | 0.08 \pm 0.08 ^{ab} | 0.00 \pm 0.00 ^a | 0.00 \pm 0.00 ^a | 1.98 \pm 1.98 ^b | Summer | 17.86 \pm 4.08 ^a | 11.64 \pm 3.07 ^a | 1.89 \pm 1.27 ^b | 0.16 \pm 0.11 ^{ab} | Autumn | زنتوده آنکاریک (میلی گرم در متربمربع) | Epigeic biomass (mg m ⁻²) |
| 0.000 | 8.884 | 0.08 \pm 0.08 ^b | 0.93 \pm 0.93 ^b | 0.00 \pm 0.00 ^a | 0.00 \pm 0.00 ^b | 0.00 \pm 0.00 ^b | Summer | 0.50 \pm 0.23 ^a | 0.00 \pm 0.00 ^b | 0.00 \pm 0.00 ^b | 0.25 \pm 0.17 ^{ab} | Autumn | فرآونی آنکاریک (تعداد در متربمربع) | Anecic density (n m ⁻²) |
| 0.066 | 2.343 | 0.00 \pm 0.00 ^a | 0.93 \pm 0.93 ^b | 0.00 \pm 0.00 ^a | 0.00 \pm 0.00 ^a | 0.00 \pm 0.00 ^a | Summer | 0.66 \pm 0.25 ^a | 0.41 \pm 0.17 ^a | 0.41 \pm 0.17 ^a | 0.41 \pm 0.17 ^a | Autumn | زنتوده آنکاریک (میلی گرم در متربمربع) | Anecic biomass (mg m ⁻²) |
| 0.000 | 8.744 | 0.93 \pm 0.93 ^b | 0.00 \pm 0.00 ^b | 0.00 \pm 0.00 ^b | 0.00 \pm 0.00 ^b | 0.00 \pm 0.00 ^b | Summer | 7.83 \pm 4.00 ^a | 3.64 \pm 2.45 ^{ab} | 2.31 \pm 1.69 ^{ab} | 5.11 \pm 2.46 ^a | Autumn | زنتوده آنکاریک (میلی گرم در متربمربع) | Endogeic density (n m ⁻²) |
| 0.081 | 2.200 | 0.00 \pm 0.00 ^b | 0.00 \pm 0.00 ^b | 0.00 \pm 0.00 ^b | 0.00 \pm 0.00 ^b | 0.00 \pm 0.00 ^b | Summer | 0.50 \pm 0.23 ^a | 0.50 \pm 0.11 ^{ab} | 0.00 \pm 0.00 ^b | 0.25 \pm 0.17 ^{ab} | Autumn | فرآونی آنکاریک (تعداد در متربمربع) | Endogeic biomass (mg m ⁻²) |
| 0.003 | 4.656 | 0.00 \pm 0.00 ^b | 0.00 \pm 0.00 ^b | 0.00 \pm 0.00 ^b | 0.00 \pm 0.00 ^b | 0.00 \pm 0.00 ^b | Summer | 0.66 \pm 0.25 ^a | 0.41 \pm 0.17 ^a | 0.41 \pm 0.17 ^a | 0.41 \pm 0.17 ^a | Autumn | فرآونی آنکاریک (تعداد در متربمربع) | Anecic density (n m ⁻²) |
| 0.093 | 2.099 | 0.00 \pm 0.00 ^b | 0.00 \pm 0.00 ^b | 0.00 \pm 0.00 ^b | 0.00 \pm 0.00 ^b | 0.00 \pm 0.00 ^b | Summer | 7.83 \pm 4.00 ^a | 3.64 \pm 2.45 ^{ab} | 2.31 \pm 1.69 ^{ab} | 0.00 \pm 0.00 ^b | Autumn | زنتوده آنکاریک (میلی گرم در متربمربع) | Endogeic biomass (mg m ⁻²) |
| 0.005 | 4.172 | 0.00 \pm 0.00 ^b | 0.00 \pm 0.00 ^b | 0.00 \pm 0.00 ^b | 0.00 \pm 0.00 ^b | 0.00 \pm 0.00 ^b | Summer | 7.03 \pm 2.77 ^a | 0.50 \pm 0.17 ^a | 0.50 \pm 0.17 ^a | 0.50 \pm 0.17 ^a | Autumn | فرآونی آنکاریک (تعداد در متربمربع) | Endogeic biomass (mg m ⁻²) |
| 0.102 | 2.037 | 0.00 \pm 0.00 ^a | 0.00 \pm 0.00 ^a | 0.00 \pm 0.00 ^a | 0.00 \pm 0.00 ^a | 0.00 \pm 0.00 ^a | Summer | 0.50 \pm 0.28 ^a | 0.50 \pm 0.19 ^a | 0.50 \pm 0.19 ^a | 0.50 \pm 0.19 ^a | Autumn | فرآونی آنکاریک (تعداد در متربمربع) | Endogeic biomass (mg m ⁻²) |
| 0.201 | 1.549 | 0.00 \pm 0.00 ^a | 0.00 \pm 0.00 ^a | 0.00 \pm 0.00 ^a | 0.00 \pm 0.00 ^a | 0.00 \pm 0.00 ^a | Summer | 0.25 \pm 0.17 ^a | 0.16 \pm 0.11 ^a | 0.16 \pm 0.11 ^a | 0.16 \pm 0.11 ^a | Autumn | زنتوده آنکاریک (میلی گرم در متربمربع) | Endogeic biomass (mg m ⁻²) |
| 0.061 | 2.403 | 0.00 \pm 0.00 ^b | 0.00 \pm 0.00 ^b | 0.00 \pm 0.00 ^b | 0.00 \pm 0.00 ^b | 0.00 \pm 0.00 ^b | Summer | 8.57 \pm 4.50 ^a | 6.06 \pm 2.26 ^{ab} | 2.76 \pm 2.10 ^{ab} | 5.11 \pm 2.46 ^a | Autumn | فرآونی آنکاریک (تعداد در متربمربع) | Endogeic biomass (mg m ⁻²) |
| 0.341 | 1.155 | 0.00 \pm 0.00 ^a | 0.00 \pm 0.00 ^a | 0.00 \pm 0.00 ^a | 0.00 \pm 0.00 ^a | 0.00 \pm 0.00 ^a | Summer | 1.63 \pm 1.10 ^a | 2.26 \pm 1.98 ^a | 0.00 \pm 0.00 ^a | 0.00 \pm 0.00 ^a | Autumn | فرآونی آنکاریک (تعداد در متربمربع) | Endogeic biomass (mg m ⁻²) |
| 0.000 | 6.589 | 0.00 \pm 0.00 ^c | 0.00 \pm 0.00 ^c | 0.00 \pm 0.00 ^c | 0.00 \pm 0.00 ^c | 0.00 \pm 0.00 ^c | Summer | 1.41 \pm 0.39 ^a | 1.08 \pm 0.33 ^{ab} | 0.50 \pm 0.19 ^{bc} | 0.16 \pm 0.11 ^b | Autumn | فرآونی کرم خاکی (تعداد در متربمربع) | Earthworm density (n m ⁻²) |
| 0.000 | 13.229 | 0.08 \pm 0.08 ^b | 0.16 \pm 0.11 ^b | 0.16 \pm 0.11 ^b | 0.16 \pm 0.11 ^b | 0.16 \pm 0.16 ^b | Summer | 2.41 \pm 0.41 ^a | 14.52 \pm 4.73 ^{ab} | 14.31 \pm 2.55 ^{bc} | 21.30 \pm 0.42 ^a | Autumn | فرآونی کرم خاکی (تعداد در متربمربع) | Earthworm density (n m ⁻²) |
| 0.000 | 6.225 | 0.00 \pm 0.00 ^c | 0.00 \pm 0.00 ^c | 0.00 \pm 0.00 ^c | 0.00 \pm 0.00 ^c | 1.98 \pm 1.98 ^b | Summer | 26.51 \pm 4.88 ^a | 19.02 \pm 5.26 ^a | 1.89 \pm 1.27 ^b | 1.89 \pm 1.27 ^b | Autumn | فرآونی کرم خاکی (تعداد در متربمربع) | Earthworm biomass (mg m ⁻²) |

ادامه جدول - ۴

Continue Table 4.

| ANOVA | | Habitats | | | کلیما، فون و فلور خاک | | |
|-----------|---------|-------------------------------|-------------------------------|--------------------------------|--------------------------------|-------------------------------|--------|
| معنی داری | F value | منقار | پوشش مرتعی | چنگل کاری خالص پلت | چنگل کاری خالص ترمسکا | چنگل کاری آمیخته | فصل |
| Sig. | | Rangeland | Pure pellet plantation | Pure alder plantation | mixed plantation | Natural forest | Season |
| 0.000 | 78.565 | 4070.08±505.68 ^c | 3801.00±432.75 ^e | 12822.66±390.77 ^b | 14982.33±827.84 ^b | 22467.58±1635.13 ^a | Summer |
| 0.000 | 10.988 | 7761.41±548.12 ^d | 15695.08±797.63 ^{ed} | 23315.08±2580.30 ^{bc} | 25654.41±1804.05 ^{ab} | 33812.83±5831.35 ^a | Autumn |
| 0.000 | 192.024 | 274.33±15.59 ^d | 648.58±70.74 ^d | 2647.41±183.62 ^c | 8644.91±343.19 ^b | 9771.83±608.93 ^a | Summer |
| 0.000 | 35.565 | 19225.00±1764.77 ^d | 42315.91±4518.89 ^c | 54768.08±3139.95 ^b | 72839.25±5449.41 ^a | 84630.33±5438.95 ^a | Autumn |
| 0.000 | 9.515 | 61.08±5.19 ^c | 114.08±11.35 ^b | 143.33±17.27 ^{ab} | 171.66±10.10 ^a | 187.33±27.64 ^a | Summer |
| 0.000 | 122.144 | 66.58±5.58 ^d | 104.83±12.82 ^d | 175.41±13.69 ^c | 388.75±31.46 ^b | 607.58±26.98 ^a | Autumn |
| 0.000 | 13.485 | 44.41±5.84 ^d | 77.00±5.36 ^{ed} | 113.16±31.86 ^c | 177.91±31.81 ^b | 242.66±16.25 ^a | Summer |
| 0.000 | 15.489 | 46.66±5.51 ^c | 120.00±11.63 ^{bc} | 177.25±7.06 ^b | 351.58±36.58 ^a | 419.83±80.25 ^a | Autumn |
| 0.000 | 16.768 | 0.75±0.07 ^c | 1.24±0.21 ^b | 1.75±0.32 ^b | 2.61±0.30 ^a | 3.18±2.20 ^a | Summer |
| 0.000 | 123.659 | 0.24±0.03 ^e | 0.63±0.04 ^d | 1.09±0.04 ^c | 1.46±0.05 ^b | 2.18±0.11 ^a | Autumn |
| 0.000 | 12.999 | 0.44±0.05 ^c | 0.62±0.06 ^c | 1.01±0.10 ^b | 1.10±0.13 ^b | 1.51±0.17 ^a | Summer |
| 0.000 | 51.251 | 0.25±0.05 ^d | 0.41±0.03 ^c | 0.74±0.04 ^b | 0.85±0.04 ^b | 1.09±0.06 ^a | Autumn |
| 0.000 | 7.733 | 0.13±0.01 ^c | 0.23±0.03 ^b | 0.29±0.03 ^{ab} | 0.36±0.02 ^a | 0.31±0.04 ^{ab} | Summer |
| 0.005 | 4.223 | 0.11±0.01 ^b | 0.19±0.03 ^{ab} | 0.21±0.04 ^a | 0.27±0.01 ^a | 0.25±0.02 ^a | Autumn |
| 0.000 | 7.979 | 0.92±0.15 ^c | 1.12±0.10 ^b | 1.09±0.10 ^{bc} | 1.68±0.07 ^a | 1.24±0.04 ^b | Summer |
| 0.049 | 2.553 | 0.46±0.04 ^b | 1.74±0.07 ^{ab} | 0.78±0.15 ^{ab} | 1.03±0.22 ^a | 0.90±0.07 ^a | Autumn |
| 0.003 | 4.537 | 191.79±11.81 ^c | 298.32±44.77 ^{bc} | 336.82±61.92 ^{bc} | 424.13±51.54 ^{ab} | 520.16±92.24 ^a | Summer |
| 0.000 | 7.853 | 75.23±4.55 ^c | 124.22±8.95 ^b | 141.40±19.81 ^{ab} | 186.30±15.51 ^a | 169.44±21.27 ^b | Autumn |
| 0.000 | 10.481 | 16.48±1.04 ^c | 27.59±4.43 ^{bc} | 28.62±4.66 ^{bc} | 39.34±4.33 ^b | 58.56±7.68 ^a | Summer |
| 0.000 | 16.035 | 7.32±0.42 ^c | 11.96±0.24 ^b | 13.17±1.40 ^b | 18.89±1.45 ^a | 21.56±2.39 ^a | Autumn |
| 0.056 | 2.465 | 11.89±0.67 ^a | 11.00±0.48 ^{ab} | 9.00±1.26 ^b | 8.62±1.27 ^b | 8.69±0.83 ^b | Summer |
| 0.001 | 5.190 | 10.26±0.18 ^a | 10.43±0.82 ^a | 10.44±0.39 ^a | 9.81±0.28 ^a | 7.85±0.46 ^b | Autumn |

همکاران (۲۰۲۲) بررسی شد و بیان داشتند که نوع پوشش گیاهی در کاربری‌های مختلف خصوصیات فیزیکی، شیمیایی و زیستی خاک را تحت تأثیر مثبت و منفی قرار می‌دهد به طوری که چگالی ظاهری را کاهش و ساختار و خواص هیدرولیکی خاک را بهبود می‌بخشد و میزان نیترات و آمونیوم را افزایش می‌دهد (۷۵). نتایج رو و همکاران (۲۰۲۱) نشان داد که خاک پوشش جنگل طبیعی بالاترین مقدار معدنی شدن نیتروژن و اراضی که تغییر کاربری در آن‌ها صورت گرفته است دارای کمترین مقدار معدنی شدن نیتروژن می‌باشد (۷۸). مقادیر منفی نیتریفیکاسیون و معدنی شدن نیتروژن، نشان‌دهنده مصرف شدن نیتروژن آلی توسط ریز جانداران در طول دوره انکوباسیون است که می‌تواند به دلیل استفاده از این منبع برای تامین انرژی و نیتروژن مورد نیاز جمعیت میکروبی برای انجام فرآیند تجزیه بقایای گیاهی و معدنی شدن عناصر غذایی از جمله نیتروژن باشد (۶۰). هم‌چنین با توجه به این که معدنی شدن نیتروژن در ارتباط مستقیم با کیفیت بقایای گیاهی، حاصلخیزی خاک و فعالیت‌های میکروبی است (۷۹). نتایج پژوهش حاضر نشان داد که در پوشش جنگل طبیعی به دلیل وجود بقایای گیاهی و هم‌چنین بالا بودن میزان نیتروژن و کمتر بودن نسبت کربن به نیتروژن خاک در تغییر شکل نیتروژن اثرگذارتر می‌باشد.

تغییر شکل نیتروژن: نتایج تجزیه و تحلیل واریانس مشخصه‌های خاک در دو فصل تابستان و پاییز بیانگر آنست که بیشترین مقدار نیترات و آمونیوم در هر دو فصل تابستان و پاییز متعلق به جنگل طبیعی و کمترین مقدار آن در پوشش مرتتعی می‌باشد. مشخصه نیتریفیکاسیون در فصل تابستان و پاییز روند نزولی دارد، به طوری که در فصل پاییز بیشترین مقدار آن در جنگل کاری خالص پلت و کمترین مقدار آن در جنگل کاری آمیخته می‌باشد. از طرفی میزان این مشخصه در فصل تابستان اختلاف معنی‌داری را در بین پوشش‌های مورد بررسی نشان نمی‌دهد. آمونیفیکاسیون در بین پوشش‌های مختلف در فصل تابستان دارای عدم معنی‌داری بوده در حالی که در فصل پاییز اختلاف معنی‌داری را نشان می‌دهد و بیشترین مقدار آن متعلق به جنگل طبیعی می‌باشد. بیشترین مقدار معدنی شدن نیتروژن در فصل پاییز متعلق به جنگل طبیعی می‌باشد. این مشخصه روند نزولی داشته و در فصل تابستان دارای عدم تفاوت معنی‌دار در بین پوشش‌های مورد بررسی است (جدول ۵). نوع پوشش گیاهی می‌تواند اثرات معنی‌داری بر تغییرپذیری مقادیر آمونیوم و نیترات خاک داشته باشد. مطالعه‌ای و همکاران (۲۰۱۴) نشان داد که پوشش‌های درختی بر انباسته محتوی آمونیوم و نیترات خاک اثرات مثبت دارد (۶۱). تأثیر پوشش گیاهی بر روی خصوصیات خاک توسط کوداhe و

جدول ۵- تجزیه واریانس (میانگین ± اشتباہ معیار) مشخصه‌های تغییر شکل نیتروژن در رویشگاه‌های مورد مطالعه.

Table 5. ANOVA (Mean± standard error) Nitrogen transformation characteristics in the studied habitats.

| تجزیه واریانس ANOVA | | | رویشگاه Habitats | | | | | | تغییر شکل نیتروژن Nitrogen transformation |
|---------------------|---------------|----------------------------|---|--|-----------------------------------|---------------------------|------------|--|---|
| معنی داری Sig. | F مقدار value | پوشش مرتعی Rangeland | چنگل کاری جنگل پلت Pure pellet plantation | چنگل کاری خالص توسکا Pure alder plantation | چنگل کاری آمیخته mixed plantation | چنگل طبیعی Natural forest | فصل Season | | |
| نیترات | | | | | | | | (میلی گرم بر کیلوگرم) $\text{NO}_3^- (\text{mg kg}^{-1})$ | |
| 0.000 | 28.190 | 12.01±0.63 ^c | 13.66±0.37 ^c | 19.74±0.98 ^b | 21.36±1.28 ^b | 28.38±2.10 ^a | Summer | | |
| آمونیوم | | | | | | | | (میلی گرم بر کیلوگرم) $\text{NH}_4^+ (\text{mg kg}^{-1})$ | |
| 0.000 | 44.788 | 5.67±0.18 ^e | 7.69±0.54 ^d | 9.98±0.36 ^c | 12.76±0.51 ^b | 15.50±0.99 ^a | Summer | | |
| نتریفیکاسیون | | | | | | | | Nitrification ($\text{mg NO}_3^- \text{ kg}^{-1}$) | |
| 0.494 | 0.859 | -0.23±0.02 ^a | -0.17±0.02 ^a | -0.28±0.03 ^a | -0.21±0.05 ^a | -0.22±0.05 ^a | Summer | | |
| آمونیفیکاسیون | | | | | | | | Ammonification ($\text{mg NH}_4^+ \text{ kg}^{-1}$) | |
| 0.024 | 3.062 | 0.17±0.03 ^b | 0.15±0.02 ^b | 0.23±0.04 ^{ab} | 0.21±0.03 ^b | 0.32±0.03 ^a | Summer | | |
| معدنی شدن نیتروژن | | | | | | | | (میلی گرم بر کیلوگرم) $\text{N mineralization} (\text{mg N kg soil}^{-1})$ | |
| 0.275 | 1.316 | -0.062±0.03 ^a | -0.016±0.03 ^a | -0.044±0.06 ^a | -0.002±0.07 ^a | 0.098±0.05 ^a | Summer | | |
| نیترات | | | | | | | | (میلی گرم بر کیلوگرم) $\text{NO}_3^- (\text{mg kg}^{-1})$ | |
| 0.000 | 60.948 | 1.76±0.14 ^d | 2.72±0.23 ^d | 6.78±0.28 ^c | 10.74±0.85 ^b | 14.19±1.18 ^a | Autumn | | |
| آمونیوم | | | | | | | | (میلی گرم بر کیلوگرم) $\text{NH}_4^+ (\text{mg kg}^{-1})$ | |
| 0.000 | 21.017 | 1.49±0.16 ^c | 1.71±0.12 ^c | 2.34±0.15 ^{bc} | 3.17±0.16 ^b | 5.64±0.76 ^a | Autumn | | |
| نتریفیکاسیون | | | | | | | | Nitrification ($\text{mg NO}_3^- \text{ kg}^{-1}$) | |
| 0.000 | 11.373 | -0.009±0.005 ^a | 0.040±0.01 ^a | -0.160±0.01 ^b | -0.186±0.03 ^b | -0.150±0.31 ^b | Autumn | | |
| آمونیفیکاسیون | | | | | | | | Ammonification ($\text{mg NH}_4^+ \text{ kg}^{-1}$) | |
| 0.000 | 14.234 | 0.004±0.008 ^c | 0.003±0.006 ^c | 0.077±0.012 ^b | 0.082±0.011 ^b | 0.169±0.035 ^a | Autumn | | |
| معدنی شدن نیتروژن | | | | | | | | (میلی گرم بر کیلوگرم) $\text{N mineralization} (\text{mg N kg soil}^{-1})$ | |
| 0.029 | 2.914 | -0.004±0.008 ^{ab} | -0.036±0.011 ^{abc} | 0.083±0.012 ^{bc} | -0.103±0.037 ^b | 0.019±0.053 ^a | Autumn | | |

از این پژوهش نشان داد که تغییرات کاربری اراضی از جنگل به مرتع و از مرتع به سایر کاربری‌ها و در نهایت حذف پوشش گیاهی زمین اثرات جبران‌ناپذیری بر روی ویژگی‌های فیزیکی، شیمیایی و بیولوژیکی خاک دارد. با توجه به افزایش جمعیت و افزایش فعالیت‌های بشری به منظور احداث مسکن و زیربنای‌های جمعیتی به خصوص در نواحی شمال کشور، از بین

نتیجه‌گیری کلی
پوشش گیاهی نقش مهمی در ذخیره آب، تولید خاک، جلوگیری از هدررفت خاک و افزایش پایداری در دامنه‌های شیبدار دارد. بررسی اثرات حذف پوشش گیاهی و تأثیر آن بر روی خصوصیات بیولوژیکی، فیزیکی و شیمیایی خاک از جدیدترین تحقیقات علوم محیطی به شمار می‌رود. نتایج حاصل

داده شده به‌طور قابل توجهی کمتر از پوشش گیاهی جنگل طبیعی و مرتع دست‌نخورده می‌باشد. بر همین اساس حفظ و نگهداری از عرصه‌های جنگل باید مورد توجه مدیران و بهره‌برداران قرار گیرد. ضمن این‌که در مناطق تخریب‌یافته می‌توان از پوشش درختی برای حفظ، احیا و بهبود حاصل‌خیزی خاک استفاده کرد.

رفتن جنگل‌ها رو به افزایاد می‌باشد که اثرات منفی مهمی خواهد داشت. نتایج تغییر کاربری‌های طبیعی و جنگل‌ها دست‌کاشت در منطقه مورد مطالعه بیانگر آن است که فراوانی موجودات زیستی خاک به دلیل در دسترس‌تر بودن غذا، تجمع بستر و فاکتورهای فیزیکی و شیمیایی مطلوب‌تر در جنگل‌های طبیعی نسبت به اراضی تغییر کاربری یافته، بیش‌تر می‌باشد. هم‌چنین فراوانی ارگانیسم‌های خاک در زمین‌های تغییر کاربری

منابع

- Chimitdorzheva, G. D. (2023). Paths of Carbon Sequestration in Land Use (Literature Review). *Contemporary Problems of Ecology*, 16, 274-284. doi: <https://doi.org/10.1134/S1995425523030034>.
- Bodo, T., Gimah, B. G., & Seomoni, K. J. (2021). Deforestation and habitat loss: Human causes, consequences and possible solutions. *Journal of Geographical Research*, 4 (2), 22-30. doi: <https://doi.org/10.30564/jgr.v4i2.3059>.
- Kebebew, S., Bedadi, B., Erkossa, T., Yimer, F., & Wogi, L. (2022). Effect of different land-use types on soil properties in Cheha District, South-Central Ethiopia. *Sustainability*, 14 (3), 1323. doi: <https://doi.org/10.3390/su14031323>.
- Huang, W., Zong, M., Fan, Z., Feng, Y., Li, S., Duan, C., & Li, H. (2021). Determining the impacts of deforestation and corn cultivation on soil quality in tropical acidic red soils using a soil quality index. *Ecological Indicators*, 125, 107580. doi: <https://doi.org/10.1016/j.ecolind.2021.107580>.
- Ayoubi, S., Sadeghi, N., Abbaszadeh Afshar, F., Abdi, M. R., Zeraatpisheh, M., & Rodrigo-Comino, J. (2021). Impacts of oak deforestation and rainfed cultivation on soil redistribution processes across hillslopes using ¹³⁷Cs techniques. *Forest Ecosystems*, 8 (1), 1-14. doi: <https://doi.org/10.1186/s40663-021-00311-1>.
- Davari, M., Gholami, L., Nabipour, K., Homaei, M., & Jafari, H. J. (2020). Deforestation and cultivation of sparse forest impacts on soil quality (case study: West Iran, Baneh). *Soil and Tillage Research*, 198, 104504. doi: <https://doi.org/10.1016/j.still.2019.104504>.
- Pendall, E., Hewitt, A., Boer, M. M., Carrillo, Y., Glenn, N. F., Griebel, A., Middleton, J. H., Mumford, P. J., Ridgeway, P., Rymer, P. D., & Steenbeeke, G. (2022). Remarkable Resilience of Forest Structure and Biodiversity Following Fire in the Peri-Urban Bushland of Sydney, Australia. *Climate*, 10 (6), 86. doi: <https://doi.org/10.3390/cli10060086>.
- Tian, J., He, N., Kong, W., Deng, Y., Feng, K., Green, S. M., ... & Yu, G. (2018). Deforestation decreases spatial turnover and alters the network interactions in soil bacterial communities. *Soil Biology and Biochemistry*, 123, 80-86. doi: <https://doi.org/10.1016/j.soilbio.2018.05.007>.
- Wang, L., Hamel, C., Lu, P., Wang, J., Sun, D., Wang, Y., Lee, S. J., & Gan, G. Y. (2023). Using enzyme activities as an indicator of soil fertility in grassland - an academic dilemma. *Frontiers in plant science*, 14, 1175946. doi: <https://doi.org/10.3389/fpls.2023.1175946>.
- Hassan, F. O., Abdel-Salam, A. A., Rashed, H. S., & Shalaby, A. (2022). Soil quality assessment of El-Fayoum

- depression, Egypt, using remote sensing and GIS. *Annals of Agricultural Science, Moshtohor*, 60 (1), 249-258. doi: <https://doi.org/10.21608/assjm.2022.227891>.
11. Kooch, Y., & Noghre, N. (2020). Nutrient cycling and soil-related processes under different land covers of semi-arid rangeland ecosystems in northern Iran. *Catena*, 193, 104621. doi: <https://doi.org/10.1016/j.catena.2020.104621>.
12. Nilsson, M. C., Wardle, D. A., & Dahlberg, A. (1999). Effects of plant litter species composition and diversity on the boreal forest plant-soil system. *Oikos*, 16-26. <https://doi.org/10.2307/3546566>.
13. Bremner, J. M., & Mulvaney, C. S. (1982). Nitrogen-total. In 'Methods of Soil Analyses. Part 2: Chemical and Microbiological Properties. American Society of Agronomy, Madison, 595-624.
14. Tavakoli, M., Kooch, Y., & Akbarinia, M. (2018a). Frequency and diversity of worms in topsoil of degraded and reclaimed forest habitats of the Caspian region. *Iranian Journal of Forest*, 10 (3), 293-306. [In Persian]. https://www.ijf-isaforestry.ir/article_79991.html.
15. Zancan, S., Trevisan, R., & Paoletti, M. G. (2006). Soil algae composition under different agro-ecosystems in North-Eastern Italy. *Agric Ecosystem Environment*, 112 (1), 1-12. <https://doi.org/10.1016/j.agee.2005.06.018>.
16. Blake, G. R., & Hartge, K. H. (1986). Particle density. In: Klute, A. (Ed.), *Methods of soil analysis. Part 1. Physical and mineralogical methods*, 2nd ed. SSSA Book Ser. 5. ASA and SSSA, Madison, WI, 377-382.
17. Pires, L. F., Brinatti, A. M., Saab, S. C., & Cássaro, F. A. M. (2014). Porosity distribution by computed tomography and its importance to characterize soil clod samples. *Applied Radiation and Isotopes*, 92, 37-45. <https://doi.org/10.1016/j.apradiso.2014.06.010>.
18. Kemper, W. D., & Rosenau, R. C. (1986). Aggregate stability and size distribution. *Methods of Soil Analysis: Part 1 Physical and Mineralogical Methods*, 5, 425-442. <https://doi.org/10.2136/sssabookser5.1.2ed.c17>.
19. Six, J., Callewaert, P., Lenders, S., De Gryze, S., Morris, S. J., Gregorich, E. G., Paul, E. A., & Paustian, K. (2002). Measuring and understanding carbon storage in afforested soils by physical fractionation. *Soil Science Society of America Journal*, 66 (6), 1981-1987. <https://doi.org/10.2136/sssaj2002.1981>.
20. Allison, L. (1965). Organic carbon. *Methods of soil analysis, chemical and microbiological properties*. Madison: American Society of Agronomy, 1367-1378. <https://doi.org/10.2134/agronmonogr9.2.c39>.
21. Wang, W. J., & Dalal, R. C. (2006). Carbon inventory for a cereal cropping system under contrasting tillage, nitrogen fertilisation and stubble management practices. *Soil and Tillage Research*, 91 (1-2), 68-74. <https://doi.org/10.1016/j.still.2005.11.005>.
22. Chapman, H. D., & Pratt, P. F. (1962). Methods of analysis for soils, plants and waters. *Soil Science*, 93 (1), 68.
23. Bower, C. A., Reitemeier, R. F., & Fireman, M. (1952). Exchangeable cation analysis of saline and alkali soils. *Soil Science*, 73, 251-261.
24. Nelson, D. W. A., & Sommers, L. (1983). Total carbon, organic carbon, and organic matter. *Methods of Soil Analysis: Part 2 Chemical and Microbiological Properties*, 9, 539-579. <https://doi.org/10.2134/agronmonogr9.2.2ed.c29>.
25. Elliott, E. T., & Cambardella, C. A. (1991). Physical separation of soil organic matter. *Agriculture, Ecosystems & Environment*, 34 (1-4), 407-419. [https://doi.org/10.1016/0167-8809\(91\)90124-G](https://doi.org/10.1016/0167-8809(91)90124-G).
26. Page, A. L., Miller, R. H., & Jeeney, D. R. (1950). *Methods of soil analysis, Part 1. Physical properties*. American

- Society of Agronomy Publication, Madison. 770p.
27. Jones, D. L., & Willett, V. B. (2006). Experimental evaluation of methods to quantify dissolved organic nitrogen (DON) and dissolved organic carbon (DOC) in soil. *Soil Biology and Biochemistry*, 38 (5), 991-999. <https://doi.org/10.1016/j.soilbio.2005.08.012>.
28. Blair, S. N., Kohl, H. W., 3rd, Barlow, C. E., Paffenbarger, R. S., Jr, Gibbons, L. W., & Macera, C. A. (1995). Changes in physical fitness and all-cause mortality. A prospective study of healthy and unhealthy men. *JAMA*, 273 (14), 1093-1098. <https://doi:10.1001/jama.1995.03520380029031>.
29. Neatrou, M. A., Jones, R. H., & Golladay, S. W. (2005). Correlations between soil nutrient availability and fine-root biomass at two spatial scales in forested wetlands with contrasting hydrological regimes. *Canadian Journal of Forest Research*, 35 (12), 2934-2941. <https://doi.org/10.1139/x05-217>.
30. Alef, K., & Nannipieri, P. (1995). Methods in applied soil microbiology and biochemistry (Issue 631.46 M592ma). Academic Press. 608p. <https://www.cabidigitallibrary.org/doi/full/10.5555/19951908199>.
31. Bayranvand, M., Kooch, Y., & Rey, A. (2017). Earthworm population and microbial activity temporal dynamics in a Caspian Hyrcanian mixed forest. *European Journal of Forest Research*, 136 (3), 447-456. <https://doi.org/10.1007/s10342-017-1044-5>.
32. Kooch, Y., Samadzadeh, B., and Hosseini, S. M. (2017). The effects of broad-leaved tree species on litter quality and soil properties in a plain forest stand. *Catena*, 150 (3), 223-229. <https://doi.org/10.1016/j.catena.2016.11.023>.
33. Neher, D., Wu, J., Barbercheck, M., & Anas, O. (2005). Ecosystem type affects interpretation of soil nematode community measures. *Applied Soil Ecology*, 30 (1), 47-64. <https://doi.org/10.1016/j.apsoil.2005.01.002>.
34. Adl, M. S., Acosta-Mercado, D., Anderson, R. T., & Lynn, H. D. (2007). Protozoa, supplementary material. *Soil sampling and methods of analysis*, 2 (1), 455-470.
35. Wollum, A. G. (1982). Cultural methods for soil microorganisms. Methods of soil analysis: part 2 chemical and microbiological properties, 9, 781-802. <https://doi.org/10.2134/agronmonogr9.2.2ed.c37>.
36. Anderson, T. H., & Domsch, K. H. (1990). Application of eco-physiological quotients (qCO_2 and qD) on microbial biomasses from soils of different cropping histories. *Soil Biology and Biochemistry*, 22 (2), 251-255. [https://doi.org/10.1016/0038-0717\(90\)90094-G](https://doi.org/10.1016/0038-0717(90)90094-G).
37. Brookes, P. C., Landman, A., Pruden, G., & Jenkinson, D. S. (1985). Chloroform fumigation and the release of soil nitrogen: a rapid direct extraction method to measure microbial biomass nitrogen in soil. *Soil Biology and Biochemistry*, 17 (6), 837-842. [https://doi.org/10.1016/0038-0717\(85\)90144-0](https://doi.org/10.1016/0038-0717(85)90144-0).
38. Robertson, G. P., Coleman, D. C., Sollins, P., & Bledsoe, C. S. (1999). Standard soil methods for long-term ecological research (Vol. 2). Oxford University Press on Demand. 480p.
39. Singh, J. S., Singh, D. P., & Kashyap, A. K. (2009). A comparative account of the microbial biomass-N and N-mineralization of soils under natural forest, grassland and crop field from dry tropical region, India. *Plant Soil Environment*, 55 (6), 223-230. [doi: 10.17221/1021-PSE](https://doi.org/10.17221/1021-PSE).
40. Wang, Q., Xiao, F., He, T., & Wang, S. (2010). Responses of labile soil organic carbon and enzyme activity in mineral soils to forest conversion in the subtropics. *Annals of Forest Science*, 70, 579-587. <https://doi.org/10.1007/s13595-013-0294-8>.
41. López-Vicente, M., Calvo-Seas, E., Álvarez, S., & Cerdà, A. (2020). Effectiveness of Cover Crops to Reduce Loss of Soil Organic Matter in a Rainfed

- Vineyard. *Land*, 9, 230. doi: <https://doi.org/10.3390/land9070230>.
42. Chandra, L. R., Gupta, S., Pande, V., & Singh, N. (2016). Impact of forest vegetation on soil characteristics: a correlation between soil biological and physico-chemical properties. *3 Biotech*, 6, 1-12. doi: <https://doi.org/10.1007/s13205-016-0510-y>.
43. Pérez-Corona, M. E., Hernández, M. C. P., & de Castro, F. B. (2006). Decomposition of alder, ash, and poplar litter in a Mediterranean riverine area. *Communications in Soil Science and Plant Analysis*, 37 (7-8), 1111-1125. doi: <https://doi.org/10.1080/00103620.600588496>.
44. Liu, X., Tang, X., Lie, Z., He, X., Zhou, G., Yan, J., ... & Liu, J. (2022). Tree species richness as an important biotic factor regulates the soil phosphorus density in China's mature natural forests. *Science of the Total Environment*, 845, 157277. doi: <https://doi.org/10.1016/j.scitotenv.2022.157277>.
45. Asmare, T. K., Abayneh, B., Yigzaw, M., & Birhan, T. A. (2023). The effect of land use type on selected soil physicochemical properties in Shihatig watershed, Dabat district, Northwest Ethiopia. *Heliyon*, 9(5), e16038. DOI: <https://doi.org/10.1016/j.heliyon.2023.e16038>.
46. Devi, S. S., Devi, L. S., & Yadava, P. S. (2007). Floristic diversity assessment and vegetation analysis of tropical semievergreen forest of Manipur, north east India. <https://api.semanticscholar.org/CorpusID:30392294>.
47. Braos, L. B., Carlos, R. S., Bettoli, A. C. T., Bergamasco, M. A. M., Terçariol, M. C., Ferreira, M. E., & da Cruz, M. C. P. (2023). Soil Carbon and Nitrogen Forms and Their Relationship with Nitrogen Availability Affected by Cover Crop Species and Nitrogen Fertilizer Doses. *Nitrogen*, 4 (1), 85-101. doi: <https://doi.org/10.3390/nitrogen4010007>.
48. Tolessa, T., & Senbeta, F. (2018). The extent of soil organic carbon and total nitrogen in forest fragments of the central highlands of Ethiopia. *Journal of Ecology and Environment*, 42, 1-11. doi: <https://doi.org/10.1186/s41610-018-0081-4>.
49. Kooch, Y. (2012). Soil variability related to pit and mound, canopy cover and individual trees in a Hyrcanian Oriental Beech stand. Ph.D. Thesis, Tarbiat Modares University, 203p. doi: <https://doi.org/10.1007/s10342-013-0766-2>.
50. Adugna, A., & Abegaz, A. (2016). Effects of land use changes on the dynamics of selected soil properties in northeast Wellega, Ethiopia. *Soil*, 2 (1), 63-70. doi: <http://dx.doi.org/10.5194/soild-2-1075-2015>.
51. Swanson, M. E., Studevant, N. M., Campbell, J. L., & Donato, D. C. (2014). Biological associates of early-seral pre-forest in the Pacific Northwest. *Forest Ecology and Management*, 324, 160-171. doi: <https://doi.org/10.1016/j.foreco.2014.03.046>.
52. Kooch, Y. (2012). Soil variability related to pit and mound, canopy cover and individual trees in a Hyrcanian Oriental Beech stand. Phd Thesis, Tarbiat Modares University, 203p. [In Persian]
53. Luo, G., Xue, C., Jiang, Q., Xiao, Y., Zhang, F., Guo, S., Shen, Q., & Ling, N. (2020). Soil carbon, nitrogen, and phosphorus cycling microbial populations and their resistance to global change depend on soil C: N: P stoichiometry. *Msystems*, 5 (3), e00162-20. doi: <https://doi.org/10.1128/msystems.00162-20>.
54. Molla, E., Getnet, K., & Mekonnen, M. (2022). Land use change and its effect on selected soil properties in the northwest highlands of Ethiopia. *Heliyon*, 8 (8), e10157. doi: <https://doi.org/10.1016/j.heliyon.2022.e10157>.
55. Kemmitt, S. J., Wright, D., Goulding, K. W., & Jones, D. L. (2006). pH regulation of carbon and nitrogen dynamics in two agricultural soils. *Soil Biology and Biochemistry*,

- 38 (5), 898-911. doi: <https://doi.org/10.1016/j.soilbio.2005.08.006>.
56. Mulugeta, T., Melese, A., & Wondwosen, T. E. N. A. (2019). Effects of land use types on selected soil physical and chemical properties: The case of Kuyu District, Ethiopia. *Eurasian journal of soil science*, 8 (2), 94-109. doi: [10.18393/ejss.510744](https://doi.org/10.18393/ejss.510744).
57. Kalambukattu, J. G., Singh, R., Patra, A. K., & Arunkumar, K. (2013). Soil carbon pools and carbon management index under different land use systems in the Central Himalayan region. *Acta Agriculture Scandinavica, Section B–Soil & Plant Science*, 63 (3), 200-205. doi: <https://doi.org/10.1080/09064710.2012.749940>.
58. Abera, Y., & Bilachew, T. (2011). Effects of land use on soil organic carbon and nitrogen in soils of Bale, Southern Ethiopian. *Tropical and Subtropical Agroecosystems*, 14 (1), 229-235. doi: <http://www.revista.ccba.uady.mx/urn:ISSN:1870-0462-tsaes.v14i1.538>.
59. Tellen, V. A., & Yerima, B. P. (2018). Effects of land use change on soil physicochemical properties in selected areas in the North West region of Cameroon. *Environmental systems research*, 7 (1), 1-29. doi: <https://doi.org/10.1186/s40068-018-0106-0>.
60. Chen, C. R., Condron, L. M., Davis, M. R., & Sherlock, R. R. (2001). Effects of land-use change from grassland to forest on soil sulfur and arylsulfatase activity in New Zealand. *Soil research*, 39 (4), 749-757. doi: <https://doi.org/10.1071/SR00032>.
61. Moghimian, N., Hosseini, S. M., Kooch, Y., & Darki, B. Z. (2017). Impacts of changes in land use/cover on soil microbial and enzyme activities. *Catena*, 157, 407-414. doi: <https://doi.org/10.1016/j.catena.2017.06.003>.
62. Buraka, T., Elias, E., & Lelago, A. (2023). Effects of land-use-cover-changes on selected soil physicochemical properties along slope position, Coka watershed, Southern Ethiopia. *Heliyon*, 9 (5). e16142. doi: <https://doi.org/10.1016/j.heliyon.2023.e16142>.
63. Qi, L. H., Peng, Z. H., Zhang, X. D., Zhou, J. X., Cai, C. J., & Wang, Z. Y. (2007). Species diversity and biomass allocation of vegetation restoration communities on degraded lands. *Chinese Journal of Ecology*, 26 (11), 1697-1702. http://www.cje.net.cn/EN/column/volumn_304.shtml.
64. de Pierri Castilho, S. C., Cooper, M., Dominguez, A., & Bedano, J. C. (2016). Effect of land use changes in eastern amazonia on soil chemical, physical, and biological attributes. *Soil Science*, 181 (3/4), 133-147. doi: [10.1097/SS.0000000000000152](https://doi.org/10.1097/SS.0000000000000152).
65. Vanolli, B. S., Pereira, A. P., Franco, A. L., & Cherubin, M. R. (2023). Edaphic and epigeic macrofauna responses to land use change in Brazil. *European Journal of Soil Biology*, 117, 103514. doi: <https://doi.org/10.1016/j.ejsobi.2023.103514>.
66. Persaud, R. (2019). Impact of deforestation on earthworm populations in Guyana's rainforests (No. e27841v1). *PeerJ Preprints*, 7, e27841v1. doi: <https://doi.org/10.7287/peerj.preprints.27841v1>.
67. Sirajul Haque, S. M., Gupta, S. D., & Miah, S. (2014). Deforestation effects on biological and other important soil properties in an upland watershed of Bangladesh. *Journal of Forestry Research*, 25, 877-885. doi: <https://doi.org/10.1007/s11676-014-0534-2>.
68. Borah, M. I. N. A. T. I., & Kakati, L. N. (2013). Abundance and distribution of soil Acarina in natural and degraded forest ecosystems at Pathalipam, Lakhimpur, Assam. *International Journal of Scientific & Engineering Research*, 12, 1694-1709. doi: <http://dx.doi.org/10.9790/2402-08134550>.
69. da Silva, P. M., Bartz, M., Mendes, S., Boieiro, M., Timóteo, S., Azevedo-

- Pereira, H. M., ... & Sousa, J. P. (2023). Tree canopy enhances Collembola functional richness and diversity across typical habitats of the Gorongosa National Park (Mozambique). *Applied Soil Ecology*, 190, 105010. doi: <https://doi.org/10.1016/j.apsoil.2023.105010>.
70. Afzal, S., Nesar, H., Imran, Z., & Ahmad, W. (2023). Change in land-use from natural forest impacts functional composition and metabolic footprint of soil nematode community in Western Himalayas. *Acta Ecologica Sinica*, 43 (5), 842-852. doi: <https://doi.org/10.1016/j.chnaes.2022.12.004>.
71. Han, X., Liang, Z., Wang, M., Chen, Y., Hu, C., & Wu, S. (2013). Effect of agricultural land use types on soil protozoa community. *Journal of Henan Agricultural Sciences*, 42 (9), 54-57. <https://www.cabidigitallibrary.org/doi/full/10.5555/20133388292>.
72. Fan, L. C., Yang, M. Z., & Han, W. Y. (2015). Soil respiration under different land uses in eastern China. *Plos one*, 10 (4), e0124198. doi: <https://doi.org/10.1371/journal.pone.0124198>.
73. Chen, Q., Yang, F., & Cheng, X. (2022). Effects of land use change type on soil microbial attributes and their controls: Data synthesis. *Ecological Indicators*, 138, 108852. doi: <https://doi.org/10.1016/j.ecolind.2022.108852>.
74. Kara, O., & Bolat, I. (2008). The effect of different land uses on soil microbial biomass carbon and nitrogen in Bartın province. *Turkish Journal of Agriculture and Forestry*, 32 (4), 281-288. <https://journals.tubitak.gov.tr/agriculture/vol32/iss4/6/>.
75. Li, M., Zhou, X., Zhang, Q., & Cheng, X. (2014). Consequences of afforestation for soil nitrogen dynamics in Central China. *Agriculture, Ecosystems and Environment*, 183 (4), 40-46. doi: <https://doi.org/10.1016/j.agee.2013.10.018>.
76. Ferreira, A. C. C., Leite, L. F. C., Araújo, A. S. F., & Eisenhauer, N. (2016). Land use type effects on soil organic Carbon and microbial properties in a semi-arid region of Northeast Brazil. *Land Degradation and Development*, 27 (2): 171-178. doi: <https://doi.org/10.1002/ldr.2282>.
77. Kooch, Y., & Bayravand, M. (2017). Composition of tree species can mediate spatial variability of C and N cycles in mixed beech forests. *Forest Ecology and Management*, 401 (10), 55-64.
78. Koudahe, K., Allen, S. C., & Djaman, K. (2022). Critical review of the impact of cover crops on soil properties. *International Soil and Water Conservation Research*, 10 (3), 343-354. doi: <https://doi.org/10.1016/j.iswcr.2022.03.003>.
79. Zhu, G., Shangguan, Z., Hu, X., & Deng, L. (2021). Effects of land use changes on soil organic carbon, nitrogen and their losses in a typical watershed of the Loess Plateau, China. *Ecological Indicators*, 133, 108443. doi: <https://doi.org/10.1016/j.ecolind.2021.108443>.